

УДК 553.411.9:553.21/24

## МИНЕРАЛОГИЯ И УСЛОВИЯ ФОРМИРОВАНИЯ РУД ЗОЛОТОНОСНОГО W-МО-ПОРФИРОВОГО БУГДАИНСКОГО МЕСТОРОЖДЕНИЯ (ВОСТОЧНОЕ ЗАБАЙКАЛЬЕ, РОССИЯ)

© 2011 г. В. А. Коваленкер, Г. Д. Киселева, Т. Л. Крылова, О. В. Андреева

Институт геологии рудных месторождений, петрографии, минералогии и геохимии РАН

119017, Москва, Ж.-17, Старомонетный пер., 35

Поступила в редакцию 18.10.2010 г.

Бугдаинское золотоносное W-Мо-месторождение (Восточное Забайкалье) приурочено к центральной части вулкано-купольной структуры в пределах крупного plutона варнских гранитоидов. По своим характеристикам оно соответствует месторождениям типа Клаймакс или риолитовому субклассу Мо-порфировых месторождений. Его повышенная золотоносность обусловлена относительно широким распространением жильного и жильно-прожилкового золото-полиметаллического оруденения. В штокверковых и жильных рудах сейчас диагностировано более 70 минералов, включая самородные элементы, сульфиды, сульфосоли, теллуриды, оксиды, молибдаты, вольфраматы, карбонаты и сульфаты, в том числе впервые установленные здесь джалиндит, гринокит, молибденодержащий штольцит, амальгамы серебра и золота, штромейерит, сервеллит, берриит и др. Выделено четыре стадии минералообразующего процесса. Наиболее ранняя дорудная стадия проявилась после внедрения субвулканического штока риолит(гранит)-порфиров в виде калишпатизации и интенсивного окварцевания. Вслед за ними сформировалась штокверковая и жильно-прожилковая W-Мо-минерализация кварц-молибденитовой стадии. Серicitизация, пиритизация и последующее образование кварц-сульфидных жил и прожилков с самородным золотом, сульфидаами полиметаллов и разнообразными Ag-Cu-Pb-Bi-Sb-сульфосолями золото-полиметаллической стадии происходили после изменения регионального плана тектонических деформаций. Завершился гидротермальный процесс отложением аргиллизитовой (каолинит-смектитовой) ассоциации послерудной стадии.

Изучение флюидных включений (ФВ) (методы микротермометрии и Рамановской спектроскопии) показало, что штокверковое W-Мо-оруденение формировалось при высоких (550–380°C) температурах как из концентрированных растворов–рассолов Mg-Na-хлоридного состава, так и из мало-плотного газового флюида, содержавшего значимые количества N<sub>2</sub> и H<sub>2</sub>S. Обогащенные Au, Ag, Bi и другими редкими металлами жильные Pb-Zn-руды золото-полиметаллической стадии отлагались при более низких температурах (360–140°C) из гомогенных Na-K-Cl(HCO<sub>3</sub>, SO<sub>4</sub>)-гидротермальных растворов средней солености.

### ВВЕДЕНИЕ

Молибденовые порфировые месторождения типа Клаймакс наиболее привлекательны с точки зрения запасов и качества руд. Эти месторождения обычно имеют куполообразную форму, ассоциируют с интрузиями высококремнистых богатых щелочными (K<sub>2</sub>O > Na<sub>2</sub>O) риолитов и гранит-порфиров, вокруг и над которыми сосредоточено преимущественно штокверковое молибденитовое оруденение (Уайт и др., 1984). В современных классификациях они отнесены к субклассу риолитовых Мо-порфировых месторождений (Seedorff *et al.*, 2005). Считается (Кривцов и др., 1987), что эти месторождения характерны для областей внутриплитной тектономагматической активизации.

Адрес для переписки: В.А. Коваленкер. E-mail: kva@igem.ru

К числу месторождений типа Клаймакс относится и открытое в середине прошлого века в Александровском рудном районе Восточного Забайкалья Бугдаинское W-Мо-месторождение. Однако наличие промышленных запасов золота и ряда других металлов отличает его как от типичных месторождений типа Клаймакс, так и от соседних молибденовых месторождений.

Бугдаинское месторождение было детально разведано в 1953–1958 гг. на молибден. В ряде опубликованных в 60–70-х годах работ (Кормилицын, 1973; Круглова и др., 1965 и др.) рассматривались сведения о строении месторождения, магматизме, локализации молибденового и полиметаллического оруденения, приводились краткое описание метасоматитов и минерального состава руд (без данных о химическом составе минералов). В то время в рудах месторождения было выявлено всего около 20 минералов. Температуры и давление минерало-

образующих флюидов Бугдаинского месторождения, установленные по результатам изучения ФВ, приведены в публикациях (Колтун, Пизнюр, 1970; Пизнюр, 1970). В этих работах рассмотрены сведения о типах ФВ, указано на присутствие в минералах месторождения многофазных ФВ с твердыми фазами и ФВ с жидкой углекислотой, но отсутствуют данные о солевом составе и солености минералообразующих флюидов.

В последние два десятилетия на фоне повышения экономического интереса к данному месторождению происходило его доизучение и переоценка запасов сопутствующей золотой минерализации. В соответствии с утвержденными в 2007 г. ГКЗ Роснедра запасами по категории В+С1 (руды 436,2 млн. т, Mo – 347,5 тыс. т, Au – 11,2 т, Ag – 193,5 т, Pb – 41,4 тыс. т) Бугдаинское месторождение отнесено к разряду крупных ([www.mnr.gov.ru](http://www.mnr.gov.ru)). В рудах месторождения содержатся также значительные ресурсы WO<sub>3</sub>, Zn, Bi и Re (Харитонов и др., 2003).

Аномально высокая для месторождений типа Клаймакс золотоносность Бугдаинского месторождения выдвигает его в число весьма интересных объектов как с практической, так и научной стороны. В этой связи в 90-е годы прошлого столетия на месторождении возобновляются научные исследования. Среди них, прежде всего, следует отметить работы коллектива ИГЕМ РАН, выполнявшиеся в 1991–1997 гг. под руководством Б.Л. Рыболова, которые внесли большой вклад в познание геологического строения этого уникального месторождения.

Наши исследования базируются на собранных сотрудниками ИГЕМ РАН во время полевых работ 1991–1997 гг. (Б.Л. Рыболов, Г.Д. Киселева, О.В. Андреева, В.А. Стрельцов) и 2004 г. (И.К. Мызников) геологических материалах и коллекциях образцов, которые характеризуют все известные на месторождении типы руд и метасоматитов. Они являются органическим продолжением работ коллектива под руководством Б.Л. Рыболова с основным акцентом на детальное изучение руд и метасоматитов методами минерографии и петрографии, текстурно-структурный анализ взаимоотношений как отдельных рудных и жильных минералов, так и их ассоциаций, а также определении элементного состава минералов, руд и гидротермально-измененных пород, изучении изотопного состава серы основных сульфидных минералов. При этом использовались аналитические возможности лабораторий ИГЕМ РАН: РСМА – микрозонды “JEOL-8100” (аналитик – С.Е. Борисовский), “SX-50” (аналитик – А.И. Цепин) и “MS-46” (аналитик – Т.И. Голованова), СЭМ – “JSM-5300” и “JEOL-5610-LV” с энергодисперсионными спектрометрами (аналитики – А.В. Мохов, Н.В. Трубкин), нейтронно-активационный (аналитик – А.Л. Керзин), рентгенофлюоресцентный (аналитик – А.И. Якушев) и спектральный (аналитик – С.И. Гаврилова) анализы. Рентгено-

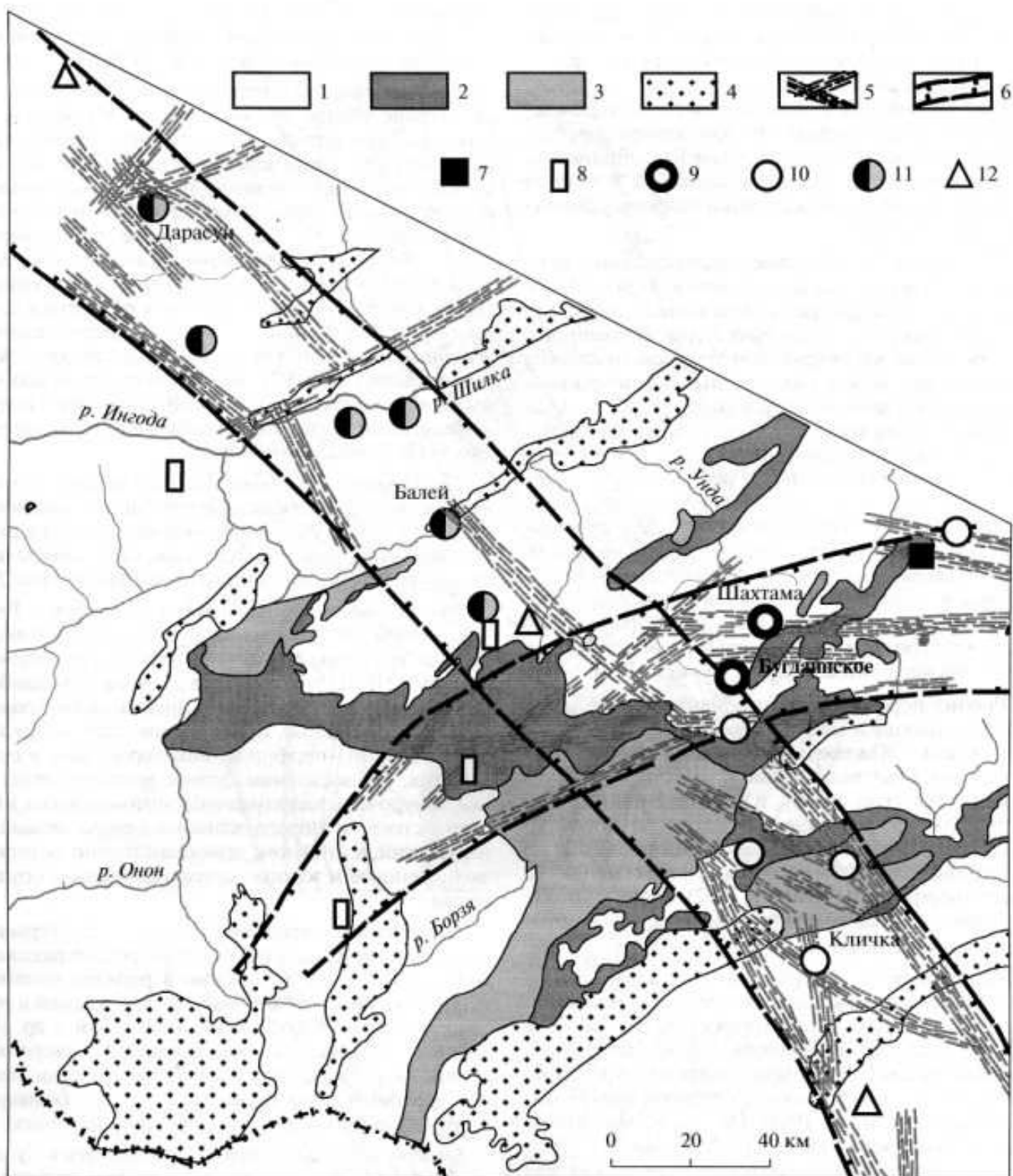
структурное изучение минералов проводились на установках УРС-2 и “Rigaku D/MAX-2200” (аналитик – Л.А. Левицкая). Изотопный состав серы сульфидов определялся Л.П. Носиком по известной методике (Носик, 1986). Особое внимание было уделено детальным исследованиям флюидных включений (ФВ) методами микротермометрии и Рамановской спектроскопии. Подобные комплексные исследования на Бугдаинском месторождении, несмотря на длительную историю его изучения и уникальность, ранее не проводились.

В статье рассматриваются новые, фактически первые данные по минерало-геохимическим особенностям и условиям формирования руд, сведения о которых практически отсутствовали в имеющихся публикациях. Были существенно уточнены и дополнены представления о минеральном составе W-Mo- и Au-Pb-Zn-руд, химическом составе минералов, в том числе самородного золота и впервые найденных минералах редких и рассеянных элементов, разработана схема стадийности, получены данные об изотопном составе серы сульфидов и H<sub>2</sub>S<sub>aq</sub>, определены основные параметры минералообразующего процесса, включая температурный режим, анионный, катионный и газовый состав флюидов. Значительное внимание при выполнении исследований было уделено выявлению особенностей богатых золотом руд, характеру локализации самородного золота в пределах жил и минералов, вариациям его форм, размеров, состава, ассоциаций.

## КРАТКИЕ СВЕДЕНИЯ О ГЕОЛОГИЧЕСКОМ СТРОЕНИИ РАЙОНА И БУГДАИНСКОГО МЕСТОРОЖДЕНИЯ

*Общая характеристика геотектонической позиции.* Восточное Забайкалье, в центральной части которого расположено золотоносное Бугдаинское W-Mo-порфирное месторождение, характеризуется сложным геологическим строением, насыщенностью разнообразными полезными ископаемыми и является типичным примером областей тектономагматической активизации (ТМА) (Щеглов, 1987). Этот регион представляет собой центральную часть образованного в основном в триасе и юре Монголо-Охотского складчатого пояса, в строении которого участвуют разнородные образования, включающие жесткие блоки докембрийских метаморфических пород, на которые сверху наращивались (в аккреционных клиньях и наложенных впадинах) триас-юрские осадки (Зоненшайн и др., 1990). Известные в регионе молибденовые месторождения, включая Бугдаинское, относятся к порфировому типу с подчиненным значением меди, характерным для областей внутритплитной активизации (Кривцов и др., 1987).

Бугдаинское месторождение располагается в междуречье верховьев рек Газимур и Унда, между полиметаллическими месторождениями Акатая и Шахтаминским молибденовым месторождением



Фиг. 1. Рудоконцентрирующие структуры и основные типы рудных месторождений Центральной части Восточного Забайкалья (Томсон, 1971, с изменениями).

1–4 – породы: 1 – допалеозойские отложения, 2 – нижнеюрские отложения, 3 – среднеюрские отложения, 4 – отложения (J<sub>3</sub>+K<sub>1</sub>) наложенных впадин; 5 – скрытые разломы; 6 – рудоконцентрирующие структуры; 7–12 – месторождения: 7 – меди, 8 – олова и вольфрама, 9 – молибдена, 10 – полиметаллов, 11 – золота, 12 – флюорита.

(фиг. 1). Оно приурочено к узлу пересечения выделенных И.Н. Томсоном (1971) основных рудоконцентрирующих структур Восточного Забайкалья –

субширотной Шахтаминской и Кличкинско-Дарасунской, имеющей северо-западное простиранние (фиг. 1). Первая объединяет рудные районы с поли-

металлической, молибденовой и оловянно-вольфрамовой минерализацией, вторая — пересекает все металлогенические зоны этого региона и характеризуется развитием в ее пределах золоторудных, полиметаллических и флюоритовых месторождений, в том числе крупных. Эта зона контролируется поясом скрытых разломов фундамента шириной до 40 км, которые были активизированы в период позднемезозойской перестройки глыбовых поднятий (Томсон, 1964).

**Магматизм.** Бугдаинское месторождение приурочено к центральной части одноименной вулкано-купольной структуры радиально-концентрического строения диаметром 3,5 км (фиг. 2), расположенной в юго-восточной части крупного Ундинского plutона варисских средне-крупнозернистых биотит-роговообманковых гранитов (Круглова и др., 1965). Они прорваны субвулканическими телами (некками, штоками, дайками) гранит-порфиров и риолит-порфиров, которые большинство исследователей относит к шахтаминскому интрузивному комплексу ( $J_{2-3}$ ). Им присуща исключительно высокая флюидонасыщенность, о чем свидетельствуют широко проявленные в пределах месторождения эруптивные брекчи, наличие интенсивных метасоматических преобразований и принадлежность, как и всех гранитоидов шахтаминского комплекса, к окисленному типу (т.е. к I типу или магнетитовой серии; Ishihara, 1973).

Риолит-порфиры и гранит-порфиры образуют в пределах площади месторождения два субвулканических тела — Южное и Центральное (фиг. 2). Первое из них, овальное в плане и имеющее в разрезе воронкообразную форму, в малоглубинной своей части сложено преимущественно риолит-порфирами, а также лавами и лавобрекчиями риолитов, но на глубине более 200 м риолит-порфиры сменяются гранит-порфирами (Тихонов, 1962). Вдоль контакта это субвулканическое тело сопровождается эруптивными брекчиями.

Расположенное севернее, в центральной части месторождения, небольшое по размерам и вытянутое в субмеридиональном направлении Центральное тело представляет собой шток гранит-порфиров с крутыми контактами, обычно интенсивно катаклизированными. Его размеры с глубиной увеличиваются (Круглова и др., 1965). На основе геофизических данных предполагается (Б.Л. Рыбалов, 1995 г.), что на глубине около 1 км оба субвулканических тела сливаются в единый достаточно крупный интрузив порфировых гранитоидов, который играл главенствующую роль в локализации оруденения.

Центральный шток сложен риолит-порфирами и гранит-порфирами с вкрапленниками преимущественно кварца и калишпата, редко олигоклаза, и с аплитовой, местами гранофировой, а вблизи контактов — фельзитовой кварц-калишпатовой основной массой. Породы штока характеризуются пересыщенностью глиноземом и преобладанием калия

над натрием (Круглова и др., 1965), что в целом характерно для порфировых гранитоидов месторождений типа Клаймакс (Уайт и др., 1984).

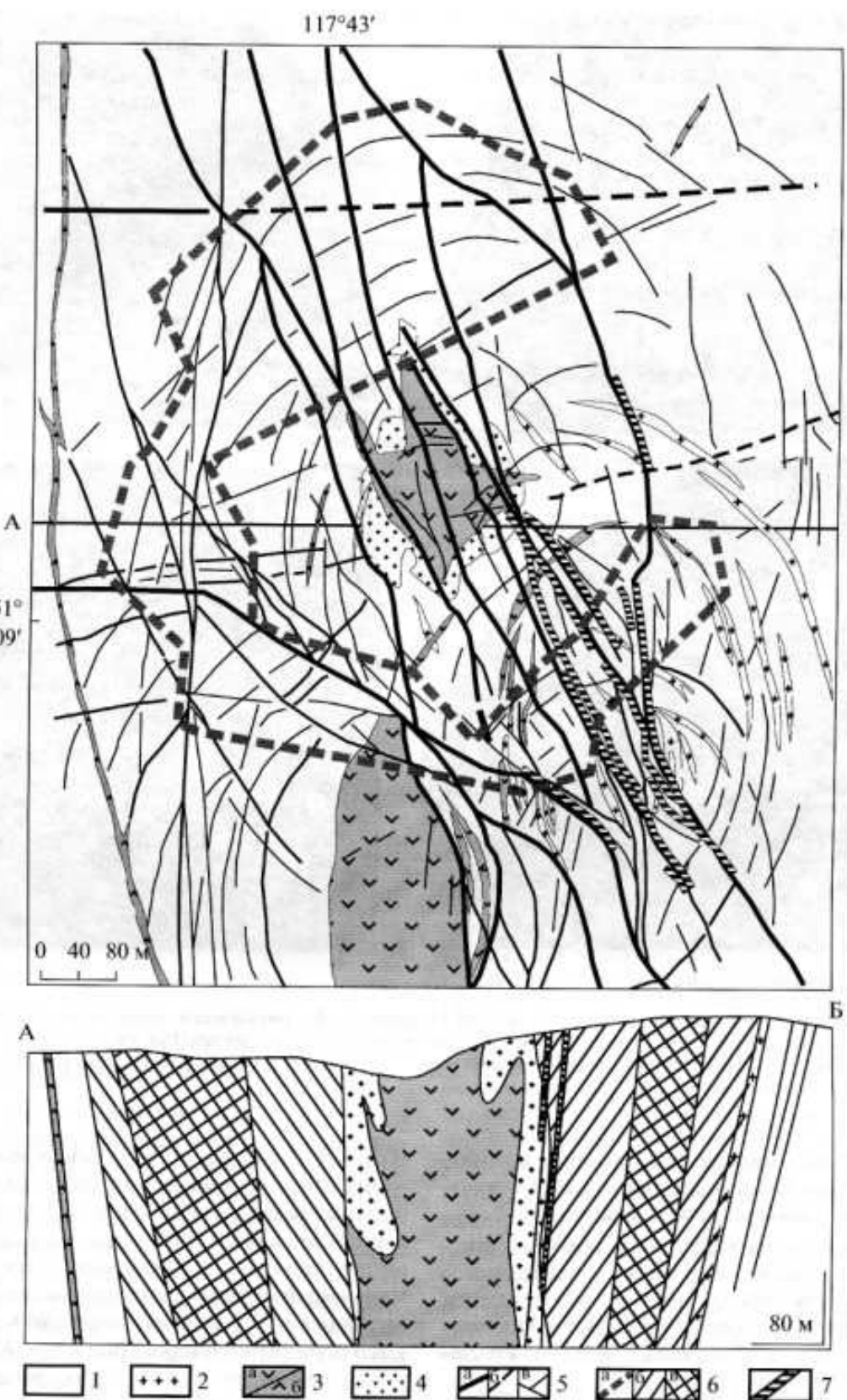
Примечательной чертой строения штока является наличие вблизи его эндоконтактов участков со своеобразным ритмически-зональным строением, которое обусловлено чередованием сложно смятых в дисгармоничные складки прослоев мономинерального кварца мощностью 0,5–1,5 см и зон риолит-порфира (фиг. 3а). Подобные образования весьма типичны в молибденовых месторождениях типа Клаймакс (Уайт и др., 1984) и в целом характерны для порфировых интрузий с сопутствующей высокотемпературной W-Mo-минерализацией (Повилайтис, 1979). По мнению ряда авторов (Абрамов, Рассказов, 1997 и др.), формирование подобных текстур связано с частичной ликвацией в полу затвердевшей магме под воздействием магматогенных F-Cl-содержащих флюидов.

**Структурно-тектонические особенности.** Бугдаинское месторождение приурочено к сложному тектоническому узлу, в котором сочленяются разрывные структуры меридионального, северо-западного и северо-восточного простираций (фиг. 2).

Меридиональные нарушения относятся к Бугдай-Акатуйской зоне, которая является составной частью крупной Абагайтуй-Сретенской системы разломов (Б.Л. Рыбалов, 1998 г.). Зона этих наиболее ранних и долгоживущих нарушений контролировала размещение субвулканических интрузий риолит(гранит)-порфиров, некоторых даек и оруденения. На восточном фланге месторождения к ней приурочены кварц-молибденитовые жилы, а на юго-востоке, в полосе влияния северо-западных нарушений, к этой зоне пространственно тяготеют молибденовое и золото-полиметаллическое оруденения.

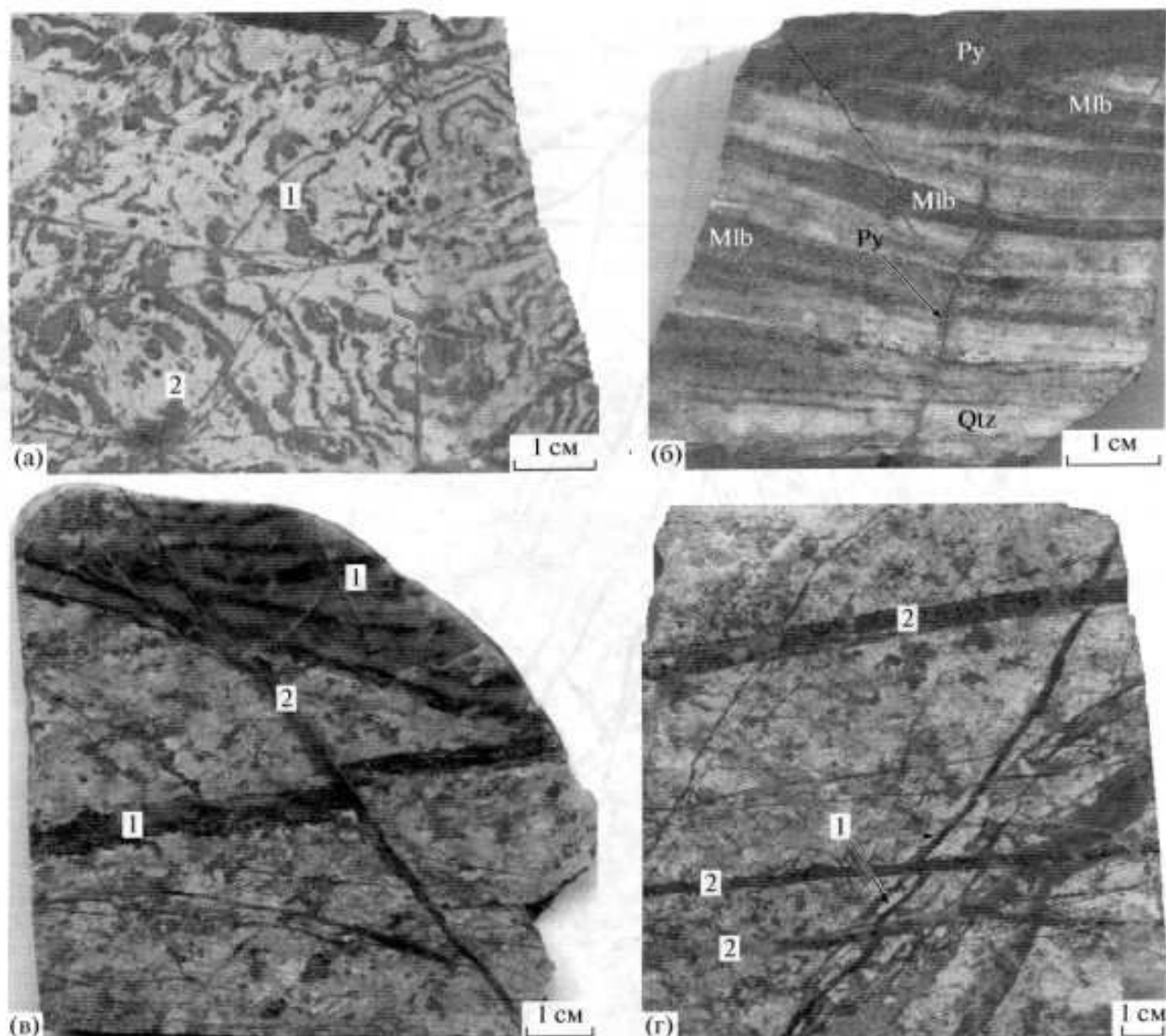
Нарушения северо-восточного простирания рассматриваются как ветви Газимурского разлома, контролирующего положение в регионе полиметаллических и молибденовых месторождений и рудопроявлений: Акатуй, Кудикан, Аленуй и др. На площади Бугдаинского месторождения северо-восточные нарушения, представленные системой мелких трещин и их оперяющих, вмещают большую часть жильно-штокверкового W-Mo-оруденения.

Северо-западные нарушения относятся к Чупино-Акатуйскому разлому, являющемуся составной частью крупной Дарасун-Кличкинской рудоконцентрирующей структуры (фиг. 1), выделенной И.Н. Томсоном (1971). Эта система нарушений контролирует положение многих в разной степени золотоносных Pb-Zn-месторождений и рудопроявлений в пределах соседнего Приаргунского полиметаллического пояса (Северный Акатуй, Александровский завод, Нойон-Толой, Чупино-Селинда и др.). На площади Бугдаинского месторождения зона северо-западных разломов представлена сери-



Фиг. 2. Схема геологического строения Бугдановского месторождения (по Харитонову и др., 2003) и схематический геологический разрез (А–Б).

1 – биотит-роговообманковые граниты ( $P-T_1$ ); 2 – аплитовидные граниты ( $T_1?$ ); 3 – магматические породы рудоносного комплекса ( $J_{2-3}$ ): риолит-порфирь, гранит-порфирь (а), диоритовые порфириты (б); 4 – зона интенсивного развития кварца; 5 – разломы: – установленные (а), предполагаемые (б), трещины, в том числе контракционные (в); 6 – контуры развития молибденового оруденения: контур промышленного оруденения (а), кварц-молибденитовый штокверк (б), промышленное оруденение (в); 7 – кварц-сульфидные жилы с золото-полиметаллическим оруденением.



**Фиг. 3.** Текстуры пород и руд.  
а – фестончатые выделения раннего кварца (1) в риолит-порфире (2); б – ритмически-полосчатое распределение прослоев, богатых молибденитом (Mlb) в пределах кварц-молибденитовой жилы, пирит (Py), кварц (Qtz); в – пересечение раннего кварц-молибденитового прожилка (1) поздним (2); г – пересечение кварц-молибденитовых прожилков (1) золото-полиметаллическими (2).

ей субпараллельных нарушений, которые контролируют положение кварц-сульфидных жил с золото-полиметаллической минерализацией (фиг. 2).

**Рудная минерализация.** На Бугдаинском месторождении проявлено два контрастных по минералогико-geoхимическим и морфологическим особенностям типа промышленного оруденения: 1) W-Mo-штокверковое и жильно-штокверковое и 2) Au-Pb-Zn-жильное и жильно-прожилковое.

Первое из них приурочено к меридиональной, северо-восточной и колыцевой системам трещин. Оно преимущественно распространено в центральной части месторождения, где образует вокруг Центрального штока разреженный штокверк минерализованных трещин и жил концентрически-зонального строения площадью 1100 × 800 м (фиг. 2).

В самом штоке известны лишь не имеющие экономического значения редкие прожилки молибденита и относительно слабо развитая полиметаллическая минерализация. Собственно вольфрамовое оруднение приурочено в основном к внутренней, примыкающей к штоку части штокверка и характеризуется снижением концентрации  $WO_3$  в направлении к его периферии (Харитонов и др., 2003). Молибденовая минерализация распространена в пределах всего контура штокверковых и жильно-штокверковых руд. Она прослежена бурением до глубины 1200 м без признаков выклинивания и с увеличением содержания молибдена с глубиной. Наиболее крупные из жил в среднем не превышают первых десятков сантиметров и часто характеризуются продольно-полосчатыми текстурами с чередованием

темных прослоев, насыщенных тонковкрапленным молибденитом, с прослойми почти чистого светло-серого кварца, причем таких повторяющихся ритмов может быть до 5–6 (фиг. 3б).

Отложение молибденита происходило, по-видимому, неоднократно, поскольку во многих случаях установлены пересечения со смещениями одного типа кварц-молибденитовых жил и прожилков другими такого же состава (фиг. 3в). В то же время кварц-молибденитовые прожилки отчетливо, со смещением пересекаются кварц-сульфидными с Au-Pb-Zn-минерализацией (фиг. 3г).

Основная часть Au-Pb-Zn-жильного оруденения локализована в юго-восточной части месторождения и приурочена главным образом к северо-западным, реже – к меридиональным нарушениям (фиг. 2). Геохимический профиль руд этого типа образуют такие элементы, как Pb, Zn, Cu, Ag, Au, Bi, Sb и As с подчиненным значением Te, Sc, Hg, Cd и In, а в участках пространственного совмещения Au-Pb-Zn- и W-Mo-минерализации – также Mo, Re и W. Кварц-сульфидные жилы и прожилки с золотополиметаллической минерализацией прослежены на глубину более 900 м, однако содержание сульфидов с глубиной в целом снижается. В этом направлении также отмечается возрастание относительных содержаний сфалерита и халькопирита, в ряде случаев встречаются участки жил и прожилков с преобладанием халькопирита над галенитом и сфалеритом, хотя в целом халькопирит по сравнению с ними имеет подчиненное значение. В незначительном количестве в пределах полиметаллических жил присутствуют: флюорит, мусковит, серицит, апатит, карбонат; локально в периферических частях на выклинивании по простирации полиметаллических жил отмечается хлорит.

## МЕТАСОМАТИЧЕСКИЕ ПРЕОБРАЗОВАНИЯ ВМЕЩАЮЩИХ ПОРОД

В распространении метасоматитов Буглаинского месторождения прослеживаются элементы кольцевой зональности с центром в области Центрального штока риолит(гранит)-порфиров (Андреева, Головин, 2001). В обобщенном виде она может быть представлена (от центра к периферии): эндоконтактовые калишпатовые метасоматиты → экзоконтактная зона калиевого метасоматоза (калишпатовые, флогопит-калишпатовые метасоматиты) и наложенное на нее окварцевание → зона K-Mg-метасоматоза (флогопитовые метасоматиты) → пропилиты хлорит-актинолит-эпидотового состава → серицитовые метасоматиты.

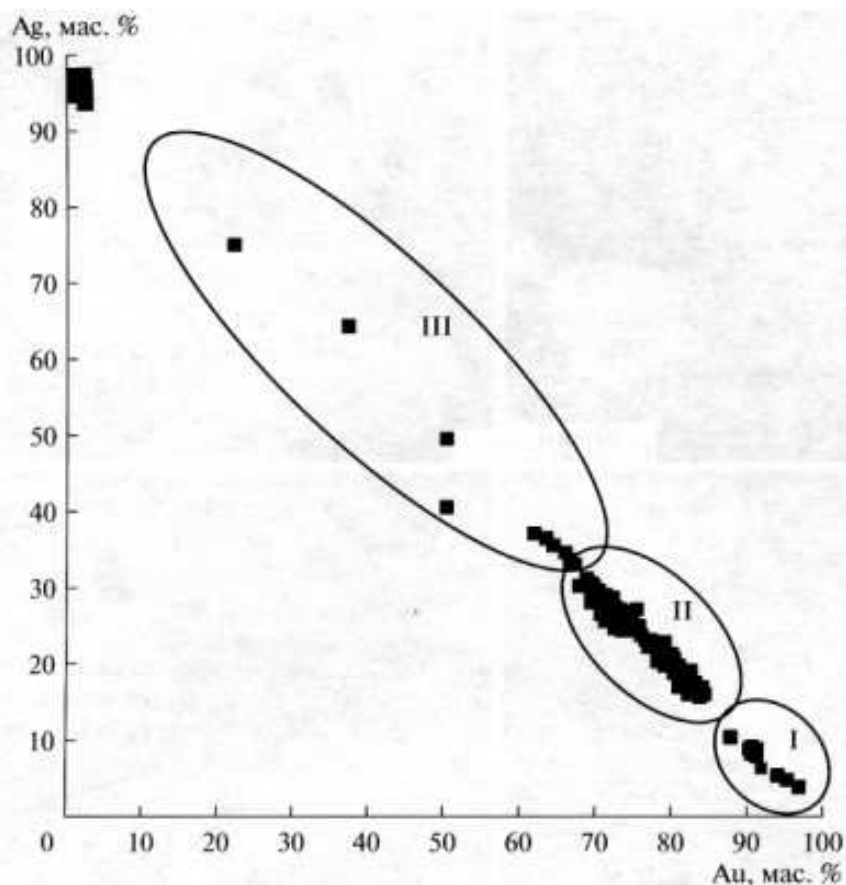
*Ореол эндоконтактной калишпатизации*, с общей мощностью до первых десятков метров, по-видимому, сформировался в результате процессов метамагматизма, которые проявились одновременно или сразу после внедрения риолит(гранит)-порфи-

ров. Особенно интенсивно преобразования проявились в апофизах штока, где породы превращены в мелкозернистый кварц-полевошпатовый агрегат с сохранившимися в разной степени реликтами порфирового сложения. Для эндоконтактовых метасоматитов характерно высокое содержание  $K_2O$  (в среднем около 8.5%) при очень низком, не свойственном магматическим породам отношении  $Na_2O/K_2O < 0.2$ . На интенсивное воздействие в эндоконтактной зоне магматических флюидов могут указывать, как отмечалось выше, наблюдающиеся здесь участки развития плойчатых псевдофлюиальных обособлений кварца, образующих переслаивание с нормальными порфирами (фиг. 3а).

*Экзоконтактная зона калиевого метасоматоза* широко проявлена во вмещающих риолит(гранит)-порфировый шток ундинских гранитоидах. Она представлена калишпатовыми и флогопит-калишпатовыми метасоматитами. Ширина этой зоны достигает 100–150 метров и с глубиной (до 800 м) ее интенсивность не уменьшается. Калишпат, по данным рентгеноструктурного и рентгеноспектрального (РСМА) исследований, принадлежит к ортоклазу с низким (не более 0.43 мас.%) содержанием  $Na_2O$ . Альбит проявлен очень незначительно.

*Процессы окварцевания* особенно интенсивно проявились вблизи контактов штока, где в результате стужения и слияния разноориентированных прожилков кварца мощностью от долей миллиметров до первых сантиметров, а в некоторых случаях – кварцевых жил мощностью до 50 см, происходит образование очень прочных, почти монолитных кварцитоподобных пород. Зона окварцевания развита преимущественно в экзоконтакте штока (фиг. 2), но частично затрагивает и его эндоконтактный ореол. Ее мощность варьирует от 10 до 60 м, причем с удалением от контакта, а также с глубиной интенсивность окварцевания уменьшается. В пределах зоны окварцевания отмечаются, хотя и в относительно небольшом количестве, магнетитовые и кварц-магнетитовые прожилки, мощностью от первых миллиметров до 3 см. Они пересекают участки раннего окварцевания. В редких участках наложение молибденовой и еще реже Au-полиметаллической минерализации они пересекаются кварц-пиритовыми, кварц-молибденитовыми и/или совместными кварц-пирит-молибденитовыми прожилками. Как правило, по мере уменьшения интенсивности окварцевания частота проявления рудной минерализации нарастает.

*Зона флогопитизации (K-Mg-метасоматоза)* образует обширный ореол, который значительно превышает размеры ореола калишпатового метасоматоза и выходит за его пределы. Флогопитизация развивалась в основном по вмещающим шток гранит-порфиров ундинским гранитоидам. Особенно интенсивно она развивается по переработанным шлирам меланократовых пород, где мелкочешуйча-



Фиг. 4. Состав трех генераций золото-серебряных соединений.

I – золото I в пирите; II – золото II (электрум) в различных сульфидах, сульфосолях и кварце; III – золото III (высокосеребристый электрум и кюстеллит).

встречаемости золотин в других минералах (ковеллине, на контакте кварца с серицитом) составляет около 12%.

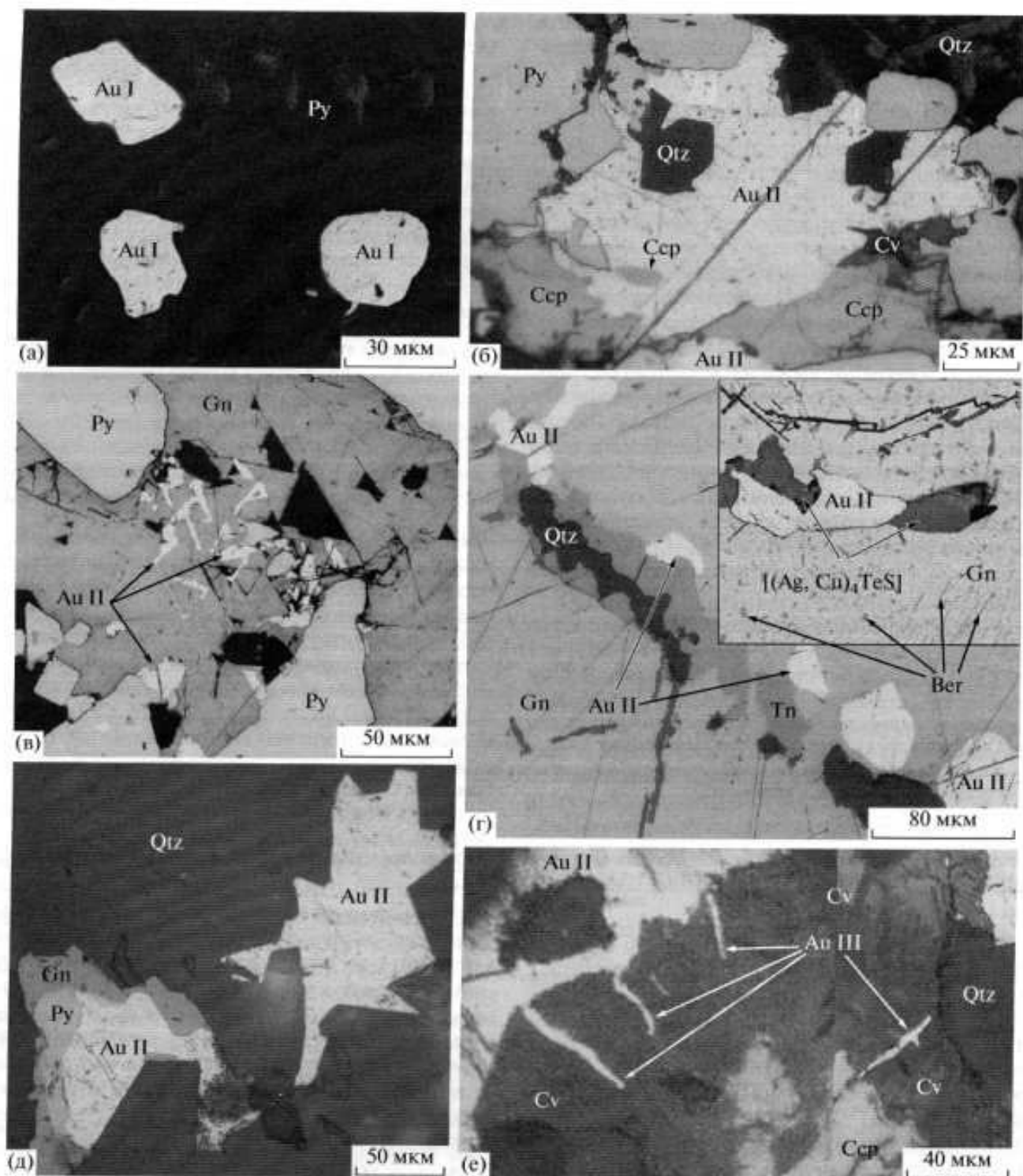
Размер золотин меняется от  $<1$  до 280 мкм, по другим данным (Харитонов и др., 2003) достигает 3.5 мм. Результаты изучения 565 золотин с учетом данных Е.Г. Соловьева и др. (1993) показывают, что почти в 70% случаев размер золотин по длиной оси не превышает 30 мкм и только около 15% золотин имеют размер выше 60 мкм. При этом морфология мелких (до 30 мкм) выделений самородного золота в большинстве случаев близка к изометрической – сфероидальная, каплевидная, реже – в виде неправильных многоугольников. Для более крупных золотин обычно характерна сложная, удлиненная форма.

Микрорентгеноспектральный анализ 120 золотин в 192 точках показал, что содержания элементов в самородном золоте Бугданинского месторождения весьма изменчивы (в мас. %): Au 22.3–96.77 (среднее – 72.32), Ag 3.83–77.7 (27.28), Cu – до 2.0 (0.33). В отдельных золотинах определены Hg (до 0.68 мас. %) и Se (до 0.33 мас. %). Наиболее часто встречаются концентрации Au в интервале 70–73 мас. %, реже – в интервале 78–82 мас. % и более редко – около 90 мас. % и выше. В единичных случаях установ-

лены золотины с содержаниями Ag > 40 мас. % (фиг. 4).

С учетом особенностей морфологии, размера и состава золотин, а также принадлежности к тем или иным минеральным ассоциациям, в Бугданинском месторождении выделены три генерации самородного золота. Наиболее ранняя генерация (золото I) представляет наиболее высокопробное золото (до 962‰) (фиг. 4). Оно обычно заключено в пирите III в виде мелких (размером до первых десятков микрон), изометрических округлых, реже – ограниченных выделений (фиг. 5а).

Золото II по составу соответствует электруму и резко количественно преобладает среди других генераций (фиг. 4). Чаще всего золото II образует выделения удлиненной неправильной формы практически во всех минералах полиметаллических жил. Оно имеет в среднем более крупные размеры (до первых сотен микрон) (фиг. 5б). Его выделения локализуются преимущественно в микротрешинах, в том числе и трещинах спайности (фиг. 5в), на контактах и в межзерновом пространстве различных минералов (фиг. 5г, 5д). Содержания Ag в различных его выделениях составляют практически непрерывный ряд от ~15 до 37 мас. % (фиг. 4).



**Фиг. 5.** Формы выделения самородного золота и электрума и их соотношения с другими минералами.  
 а – самородное золото (Au I) в пирите (Py) (в обратно-рассеянных электронах); б – замещение электрумом (Au II) халькопирита (Ccp) на контакте с корродированным пиритом (Py), Qtz – кварц, Cv – ковеллин; в – выполнение электрумом (Au II) трещин спайности в галените (Gn); г – цепочка выделений электрума (Au II) вдоль прожилки кварца (Qtz) и теннантита (Tn) в галените (Gn), в правой части – фрагмент галенита (Gn) с включениями электрума (Au II), сервеллита  $[(Ag, Cu)_4TeS]$  и тонкорассеянного бернита (Ber) (в обратно-рассеянных электронах); д – выделения электрума (Au II) в кварце (Qtz), в нижнем зерне – реликты пирита (Py) и галенита (Gn); е – третья генерация золота (Au III) по трещинам в ковеллине. Полированные шлифы (б–е).

К третьей генерации самородного золота (*золото III*) отнесены обогащенные серебром разности электрума с пробностью ниже ~ 630‰, а также кюстелит (фиг. 4), ассоциирующие преимущественно с поздними ковеллином, халькозином и хальцедоном (фиг. 5е). Впервые установленный в Бугдайнском месторождении кюстелит образует в ковеллине и в одном случае в Mn-содержащем кальците тончайшие единичные округлые включения размером до 5 мкм.

*Самородное серебро и амальгами серебра* наблюдаются редко в виде микровключений в хальцедоне в ассоциации с джалиндитом и гринокитом в участках руд с признаками вторичного сульфидного обогащения, а также в прожилках англезита. Самородное серебро встречается преимущественно в виде дуговидно-изогнутых сростков проволокообразных кристаллов, длиной до 80 мкм, в которых амальгами серебра, обладающие широким (от  $\text{Ag}_{24}\text{Hg}$  до  $\text{-Ag}_{14}\text{Hg}$ ) спектром составов, образуют прожилковидные включения. В редких случаях отмечено замещение самородным серебром штромейерита, от которого остаются лишь реликты. Представляется, что образование этих минералов серебра связано с гипергенным процессом.

#### Минералы молибдена и вольфрама

*Молибденит*. В наиболее богатых молибденом рудах (W-Mo) встречаются как тонковкрапленные, так и тонкопроязилковые скопления молибденита, приуроченные к кварцевым жилам и прожилкам. Рассеянная тонкая (от нескольких до первых десятков микрон) вкрапленность молибденита в кварцевых жилах, скорее всего, является более ранней, а массивные прожилковидные сростки более крупных (до первых десятых долей миллиметра, единичные – до 1.5 мм) чешуек, возможно, представляют вторую его генерацию, так как именно подобные агрегаты пересекают сульфины и сопровождающий их кварц. В прожилках молибденит образует тесные ориентированные сростки и цепочки волнисто расположенных чешуек (фиг. 6б, бв). В отдельных случаях отмечено цементирование молибденитом поддробленных и корродированных агрегатов раннего пирита (фиг. 6г). По данным РСМА, состав молибденита всех разновидностей и размеров варьирует в узких пределах (мас. %): Mo 58.91–59.80, S 38.53–39.13. В некоторых выделениях минерала также отмечаются Mn (до 0.16 мас. %) и Fe (до 0.23 мас. %). В концентрате молибденита (не менее 70%  $\text{MoS}_2$ ), по данным нейтронно-активационного анализа (НАА), содержится 1.04 г/т Re, по другим данным (Гордеев, Красников, 2001) – от 8.09 до 12.5 г/т Re. Результаты рентгеноструктурного анализа показывают, что молибденит Бугдайнского месторождения, как и минерал из месторождения Клаймакс (Уайт и др., 1984), принадлежит к полиморфной мо-

дификации 2Н с параметрами гексагональной кристаллической ячейки:  $a_0 = 3.167 \text{ \AA}$ ,  $c_0 = 12.282 \text{ \AA}$ .

*Шеелит* в кварц-молибденитовых жилах и прожилках образует цепочки кристаллов, параллельные прожилкам молибденита, иногда – вытянутые скопления кристаллов в кварце с ориентировкой, несогласной с направлением прожилков. Часто на шеелит в виде каскадов нарастает молибденит (фиг. 6а). Обычный размер выделений шеелита – 0.01–0.1 мм, редко более. В его составе, по данным РСМА, установлены заметные вариации кальция и вольфрама (мас. %):  $\text{CaO}$  от 18.49 до 20.09,  $\text{WO}_3$  от 74.20 до 80.80.

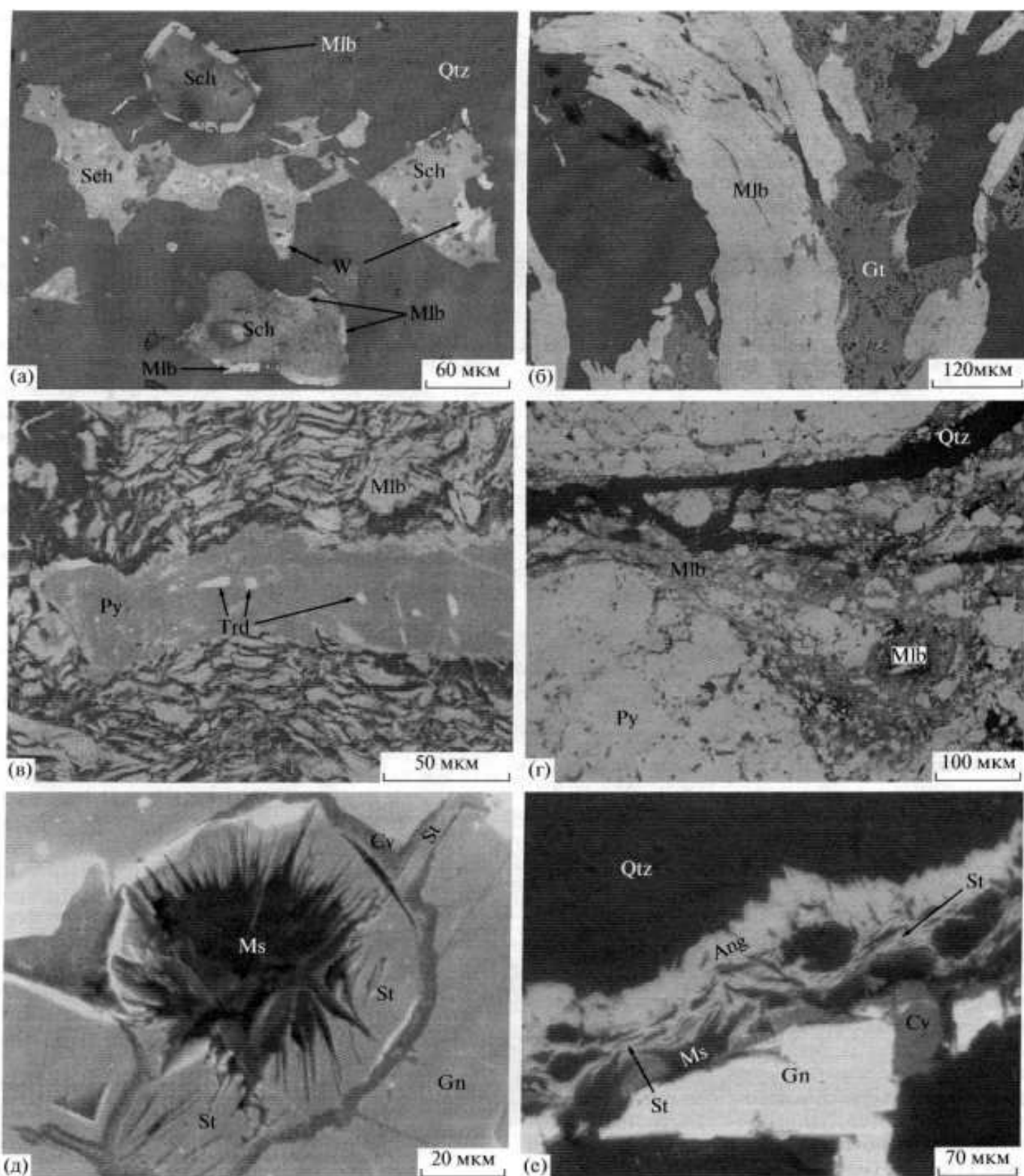
*Вольфрамит*. Максимальные скопления этого минерала пространственно совмещены с ассоциацией кварц ± мусковит ± флюорит, формирование которой связывается с ограниченно проявленным на месторождении процессом грейзенизации. Вольфрамит обычно образует продолговатые выделения с неправильными очертаниями размером в 0.01–0.1 мм, реже – непротяженные вытянутые вдоль прожилков кварца скопления очень мелких зерен. Химический состав вольфрамита, по данным РСМА, варьирует (мас. %):  $\text{WO}_3$  от 72.36 до 75.79,  $\text{MnO}$  от 12.27 до 17.22,  $\text{FeO}$  от 6.11 до 10.45. Также отмечены небольшие примеси  $\text{CaO}$  (0.11–0.18 мас. %) и  $\text{MgO}$  (0.13–0.66 мас. %). Возможно с этим же процессом связано образование незначительных количеств мельчайших (первые микроны) зерен кассiterита.

*Молибденосодержащий штольцит* в отличие от молибденита и шеелита встречен только в обогащенных Au, W и Mo полиметаллических рудах в местах пространственного совмещения W-Mo- и Au-Pb-Zn-минерализаций. В полостях в галените он образует розетчатые радиально-лучистые сростки (фиг. 6д), вытянутые вдоль трещин в галените кристаллы копьевидной или даже листовидной формы, в тесной ассоциации с англезитом – прожилковидные выделения на границе галенита и кварца (фиг. 6е). Присутствие молибденосодержащего штольцита объясняет высокие содержания Mo и W (до 4125 г/т W) в полиметаллических рудах. По составу минерал (мас. %: Pb 50.87, W 38.97, Mo 8.32) отвечает формуле  $[\text{Pb}(\text{W}_{0.74}\text{Mo}_{0.26})\text{O}_4]$ , т.е. имеет промежуточный между вульфенитом  $[\text{Pb}(\text{MoO})_4]$  и штольцитом  $[\text{Pb}(\text{WO})_4]$  состав.

#### Сульфиды

Сульфиды являются основными рудными минералами как в W-Mo-, так и в Au-Pb-Zn-рудах. В первых наиболее распространен пирит, в золото-полиметаллических – пирит, сфалерит, галенит и халькопирит.

*Пирит* присутствует как в метасоматически измененных породах, так и в рудах обоих типов, образуя несколько генераций. Наиболее ранние его вы-



**Фиг. 6.** Минералы вольфрама и молибдена и их срастания.

а – шеелит (Sch) с реликтами вольфрамита (W) обрастаются, пересекается чешуйками молибденита (Mlb) в кварце (Qtz); б – выделение молибденита (Mlb), гетит (Gt); в – агрегат молибденита (Mlb), содержащий прожилковидное выделение пирита (Py) с тонкими включениями тетрадимита (Trd); г – цементация пирита (Py) агрегатом молибденита (Mlb), кварц (Qtz); д – розетковидная форма Mo-содержащего штольциита (St) с каймой ковеллина (Cv) в галените (Gn), в центре выделения штольциита (St) – серицит–мусковит (Ms); е – прожилковидное выделение Mo-содержащего штольциита (St) в срастании с англезитом (Ang) на контакте галенита (Gn) и кварца (Qtz), мусковит (Ms). Изображения в обратно-рассеянных электронах (б, в, д, е). Полированные шлифы (а, г).

**деления (пирит I)** представлены псевдоморфозами по магнетиту в кварц-магнетитовых прожилках, которые пересекают участки раннего окварцевания, но сами пересекаются кварц-пиритовыми и кварц-молибденитовыми прожилками. Часто пирит I образует массивные линзовидные скопления мощностью до 3 см, а также цепочки кристаллов обычно сложного габитуса с большим количеством граней и от того почти округлых, вытянутые параллельно общей ориентировке агрегатов молибденита. Отмеченные выше случаи цементации молибденитом раздробленных агрегатов пирита I (фиг. 6г) свидетельствуют о его более раннем по отношению к молибдениту образовании. Содержание Au в этом минерале, по данным нейтронно-активационного анализа (НАА), составляет десятые доли г/т, Ag – десятки г/т.

**Пирит II** тесно связан с процессом серицитизации. Здесь он обычно образует вкрапленность и массивные скопления кристаллов преимущественно в форме кубов, иногда осложненных гранями пентагонододекаэдра, ассоциирующих с серицитом, Fe-Mn-карбонатами и Fe-Mg-хлоритом. Содержание Au в пирите II (НАА) – от сотых до первых десятых долей г/т, Ag – первые г/т.

**Пирит III**, приуроченный, как правило, к залежам кварц-полиметаллических жил, характеризуется более крупными выделениями (до 1 см) по сравнению с пиритом более ранних генераций. Преобладают кристаллы кубической формы, часто осложненные гранями пентагонододекаэдра или октаэдра, местами заметна грубая штриховка граней. Содержание Au в пирите III (НАА) достигает 1 г/т, Ag – десятков г/т, а в обогащенных золотом рудах – еще более высоких значений Au (6–26 г/т) и Ag (214–738 г/т), видимо, за счет тонких включений самородного золота и Ag-сульфосолей. Прожилки пирита III отчетливо пересекают линзовидные обособления и цепочки кристаллов пирита I, однако его зерна часто катализированы и залечены галенитом, халькопиритом, блеклой рудой и другими минералами поздних ассоциаций.

В полиметаллических рудах встречается еще несколько генераций пирита. Прежде всего – его метакристаллы, образующиеся при замещении железо-содержащих сульфидов безжелезистыми минералами (**пирит IV**), обычно очень мелкие. Достаточно часто отмечается также мышьяковистый пирит, выполняющий микротрешины в пирите III, сфалерите и арсенопирите. При отложении в открытых полостях мышьяковистый пирит образует корковидные выделения, местами – колломорфные концентрически-зональные агрегаты. В его составе установлены (PCMA) значительные содержания As (от 3.63 до 8.06 мас. %). Наиболее поздняя генерация – **пирит V**, ассоциирует с вюрцитом, халькопиритом и халькоzinом, небольшие количества которых встречаются в секущих халцедон-карбонатных прожилках.

**Арсенопирит**, отмеченный в небольших количествах только в пределах кварц-полиметаллических жил, вблизи агрегатов пирита III, местами в ассоциации со сфалеритом I, образует небольшие скопления мелких (0.1 мм) короткопризматических кристаллов с ромбовидными, клиновидными сечениями. Арсенопирит корродирует и замещает кристаллы пирита III, но часто сам замещается с периферии и по трещинам теннантитом, пересекается и корродируется галенитом, халькопиритом, мышьяковистым пиритом. В составе арсенопирита установлены (PCMA, мас. %): Fe – от 33.53 до 34.79, As – от 42.51 до 45.06 и S – от 21.40 до 22.21.

**Сфалерит** – наиболее распространенный сульфидный минерал жильных полиметаллических руд представлен двумя генерациями. В целом на месторождении преобладает ранний **сфалерит I**. Его отличительная особенность – обилие различно ориентированных микровключений халькопирита (фиг. 7а), относительно высокая железистость (PCMA: 4.21–6.54 мас. % Fe), а также повышенные содержания (спектральный метод, мас. %): In (до 0.2), Cd (до 0.2) и Ag (до 0.5), обусловленного тонкими включениями фрейбергита с содержанием Ag до 22.7 мас. %. В отдельных рудных жилах отмечается устойчивая пространственная ассоциация сфалерита I с пиритом III, подобная таковой на ближайшем к Бугдаинскому Северо-Акатуйском месторождении (Добровольская, Шадтун, 1974). По данным рентгеноструктурного анализа, параметр элементарной ячейки сфалерита I  $a_0 = 5.415 \text{ \AA}$ .

**Сфалерит II (клеофан)** образует кристаллы и их агрегаты в позднем кварце, нарастает в виде кайм на зерна раннего сфалерита и проникает в него по трещинам, образует прожилки в теннантите, но пересекается прожилками тетраэдрита (фиг. 7б). Встречаются также корковидные и сферолитоподобные выделения сфалерита II. Он характеризуется отсутствием включений халькопирита, низкой железистостью (PCMA: 0.37–0.43 мас. % Fe) и заметной примесью Cd (0.23–0.31 мас. %). Размер параметра элементарной ячейки сфалерита этой генерации ( $a_0 = 5.391 \text{ \AA}$ ) заметно ниже, чем у сфалерита I.

В полиметаллических рудах выявлена также гексагональная модификация сульфида цинка – **вюрцит**. Он образует агрегаты лучистых кристаллов, выделения сферолитовой или корковидной формы с концентрически-зональным строением (фиг. 7в) в халцедоновидном кварце. Состав вюрцита, по данным PCMA, характеризуется крайне низкими (0.01 мас. %), содержаниями Fe и Cd. Он, по данным рентгеноструктурного анализа, принадлежит к политипу 2Н с параметрами гексагональной кристаллической ячейки:  $a_0 = 3.836 \text{ \AA}$ ,  $c_0 = 6.277 \text{ \AA}$ .

**Галенит** встречается в виде скоплений крупных (до 2 см) кристаллов и мелкозернистых агрегатов. Минерал образует прожилки в теннантите, мирмекитовые срастания с тетраэдритом (фиг. 7г), часто

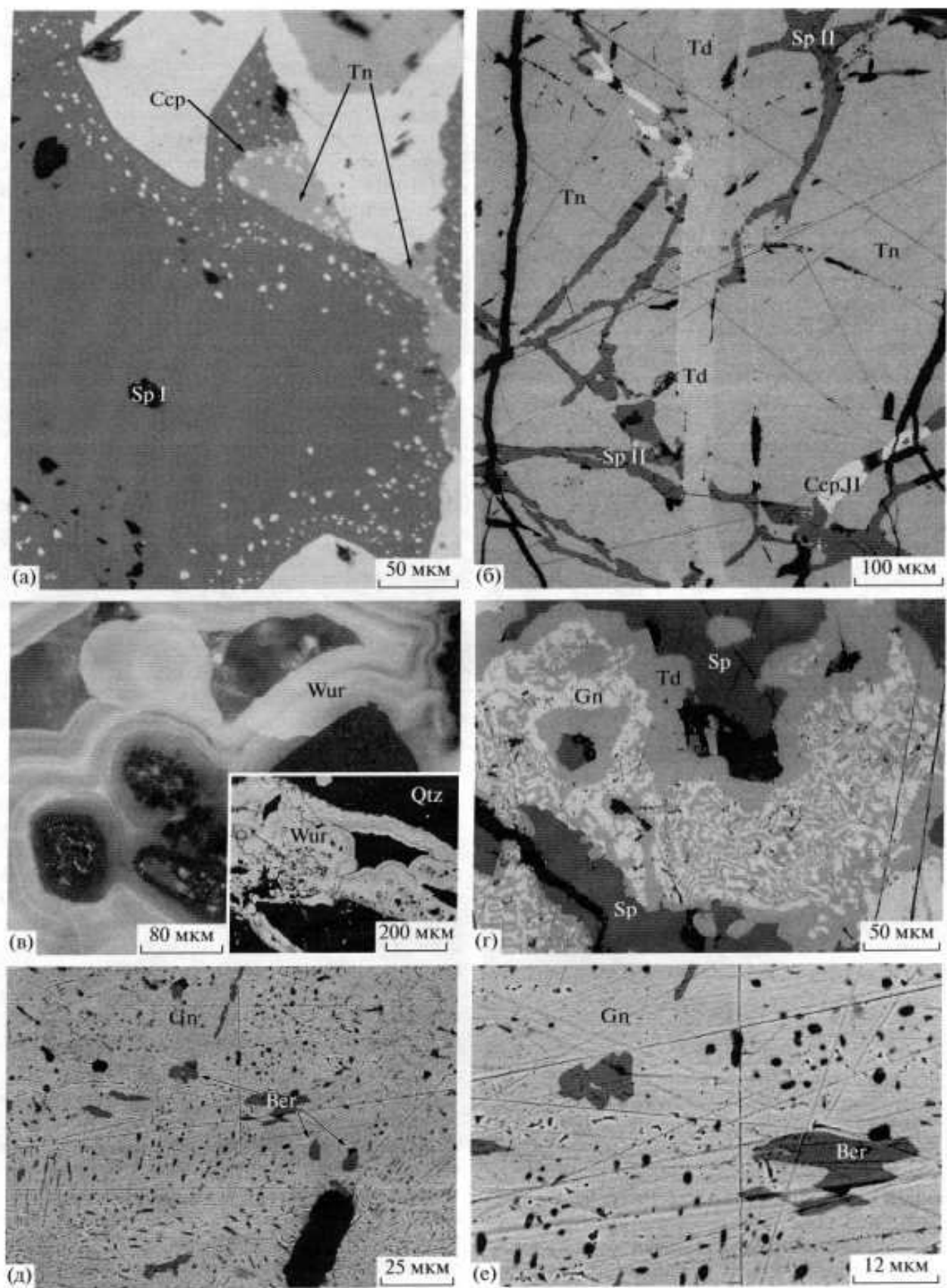


Таблица 1. Химический состав блеклых руд Буглаинского месторождения, мас. %

№ п.п.	Cu	Ag	Fe	Zn	Bi	As	Sb	Se	S	Сумма, ±*
1	42.39 9.99	0.03 0.18	0.68 1.81	7.93 1.81	Не обн. •	19.07 3.81	0.37 0.05	0.04 0.01	28.1 13.14	98.61 -2.90
2	42.44 10.00	0.09 0.15	0.55 2.00	8.72 2.00	•	18.18 3.64	0.44 0.05	0.22 0.04	27.92 13.08	98.56 -3.30
3	42.85 10.10	0.01 0.16	0.59 1.75	7.62 1.75	•	18.86 3.78	0.31 0.04	0.18 0.03	27.95 13.11	98.37 -3.5
4	43.36 10.20	0.32 0.28	1.05 1.5	6.59 1.5	•	17.41 3.47	3.41 0.42	Не обн. •	28.11 13.1	100.25 -2.96
5	38.65 10.00	0.16 0.10	0.33 1.68	6.68 1.68	0.08 0.01	5.1 1.12	21.46 2.9	•	25.64 13.17	98.10 -2.69
6	38.82 9.98	0.29 0.09	0.32 1.71	6.86 1.71	0.84 0.07	5.62 1.23	20.23 2.71	•	25.79 13.16	98.77 -2.61
7	39.79 10.10	0.16 0.13	0.46 1.69	6.89 1.69	Не обн. •	6.14 1.32	20.78 2.74	•	25.95 13.03	100.17 -0.53
8	40.03 10.20	0.34 0.1	0.54 0.16	7.01 1.74	0.05 •	6.14 1.33	19.78 2.63	0.02 •	25.43 12.87	99.34 0.71
9	39.53 9.96	0.14 0.12	0.42 1.83	7.46 1.83	Не обн. •	7.51 1.6	19.77 2.6	0.20 0.04	25.65 12.83	100.68 2.83
10	38.07 10.20	1.05 0.2	3.07 0.93	3.44 0.89	0.10 0.01	Не обн. •	28.6 3.98	Не обн. •	24.26 12.84	98.59 1.20

Примечание. Анализы: 1–3 – образец 199, 4 – образец 23, 5 – образец 17, 6–9 – образец 19, 10 – образец 18. Курсив – формульные коэффициенты при расчете на 29 атомов. \* – баланс зарядов, %.

присутствует в центральных частях концентрически-зональных агрегатов вюрцита. Нередко зерна галенита, особенно в богатых золотом рудах, насыщены микровключениями серебросодержащих сульфосмутитов (фиг. 7д, 7е), реже – серебросодержащих сульфоантимонитов и тетраэдрита. В составе галенита, кроме Pb и S, установлены (PCMA) Ag (0.47–2.87 мас. %) и в некоторых выделениях Bi (до 4.57 мас. %).

**Халькопирит** уступает по распространенности сфалериту и галениту, однако в редких случаях образует достаточно крупные (от 1–5 мм до нескольких сантиметров) агрегаты различной формы. Обычны тонкие включения халькопирита в сфалерите I, блеклых рудах и позднем кварце, прожилки в пирите и сфалерите, каймы нарастания на минералы поздних ассоциаций – колломорфного сфалерита II и тетраэдрита. В составе халькопирита сле-

дует отметить постоянное присутствие заметной примеси Se, по данным PCMA, до 0.67 мас. %.

### Сульфосоли

**Блеклые руды** количественно преобладают среди других сульфосолей. Они встречены в основном в виде агрегатов зерен, а также кристаллов размером не более 0.1 мм. Преобладающая часть изученных выделений блеклых руд принадлежит теннантит-тетраэдритовому ряду (табл. 1). Среди них преобладают цинкистые разновидности, для которых серебро в целом не характерно, однако в тетраэдрите с относительно повышенным содержанием Ag (табл. 1, анализ 10) содержания Zn и Fe практически паритетны. В отдельных зернах блеклой руды выявлена осцилляторная зональность, обусловленная колебаниями содержаний Sb и As и выраженная в увеличении роли Sb от центра к периферии выделений, вплоть до

Фиг. 7. Минералы золото-полиметаллических жил.

а – агрегат сфалерита I (Sp I), халькопирита (Csp) и теннантита (Tn), тонкая вкрапленность халькопирита отмечается в сфалерите и теннантите; б – теннантит (Tn) пересекается прожилками сфалерита II (Sp II), халькопирита II (Csp II) и тетраэдрита (Td); в – почковидные формы вюрцита (Wur) зонального строения, обрастающего сульфиды (николы скрещены, со вспышкой), то же на вставке (в обратно-рассеянных электронах); г – мирамеллитоподобные срастания галенита (Gn) и тетраэдрита (Td), сфалерит (Sp); д – микровключения берриита (Ber) в галените (Gn), черное – кварц; е – фрагмент (д) увеличен (в обратно-рассеянных электронах). Полированные пластины (а–г).

Таблица 2. Химический состав минералов группы пирсента–полибазита Бугдаинского месторождения, мас. %

№ п.п.	Cu	Ag	As	Sb	Te	S	Сумма
1	10.82	62.20	Не обн.	11.88	Не обн.	16.42	101.32
2	13.12	59.12	»	12.13	»	16.82	101.19
3	16.52	58.28	5.83	2.75	»	17.45	100.83
4	16.51	58.43	5.43	3.23	»	17.60	101.20
5	10.45	58.11	Не обн.	9.23	4.83	15.59	98.21

Примечание. Анализы: 1, 2 – полибазит (образец 22), 3, 4 – стибиопирсент (образец Ви-22), 5 – теллурристый полибазит (образец 200).

появления чистого тетраэдрита. Весьма необычный состав установлен в позднем тетраэдрите (PCMA, мас. %: Cd – 3.64 и Hg – 5.6), ассоциирующем с теллурристым полибазитом в обогащенных золотом полиметаллических рудах.

**Сульфоантимониты** в рудах Бугдаинского месторождения в публикациях ранее не отмечались.

**Буланжерит** ( $Pb_5Sb_4S_{11}$ ) обнаружен в единичных образцах в виде струйчатых спутниковых волокнистых (с толщиной волокон не более 1 мкм) агрегатов, в пространственной ассоциации с пиритом и молибденитом, а также в виде хорошо образованных длиннопризматических вростков в галените и клеофане.

В группе **пирсент–полибазит** с обобщенной формулой  $[Ag_9CuS_4][Ag, Cu)_6(As, Sb)_2S_7]$  –  $[Ag_9CuS_4][Ag, Cu)_6(Sb, As)_2S_7]$  сейчас выделяют (Bindi *et al.*, 2007) собственно полибазит, арсенополибазит, пирсент, стибиопирсент, купропирсент и селенполибазит. К этой группе, вероятно, принадлежит и обнаруженная в последние годы в ряде месторождений (Warmada, Lehmann 2003; Елень и др., 2007; Vuodouris, Spry, 2008) теллурристая разновидность полибазита. В Бугдаинском месторождении минералы пирсент–полибазитовой группы установлены в виде мелких (от 0.0n до 0.3 мм) выделений среди минералов обогащенных золотом участков кварц–полиметаллических жил. Судя по составу проанализированных методом PCMA (табл. 2) выделений, они представлены как собственно **полибазитом** и **стибиопирсентом**, так и **теллурристым** полибазитом. Последний в виде микроскопических (12–18 мкм) полигональных пластинок с неполными гексагональными сечениями установлен в галените, а также на контакте электрума и галенита.

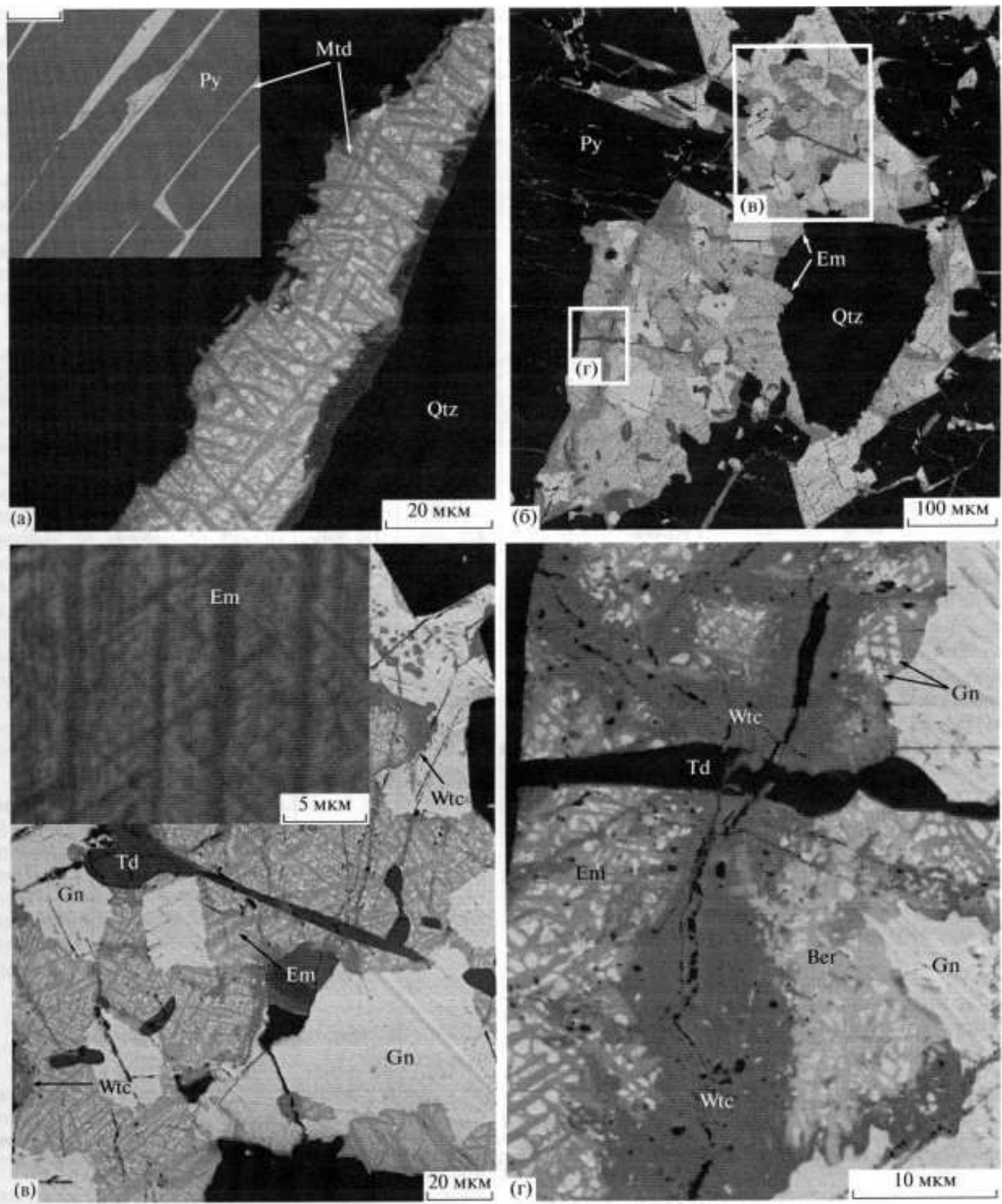
**Сульфосмутиты.** Минералы висмута в Бугдаинском месторождении не образуют крупных скоплений и обычно отмечаются только спорадически. Однако находки некоторых из этих минералов являются первыми не только для этого месторождения, но и вообще для Mo(W)-порфировых объектов.

В полиметаллических рудах висмутовые минералы пространственно ассоциируют с халькопиритом, галенитом, поздним кварцем, реже пиритом. Они особенно характерны для обогащенных золотом

участков рудных жил. Типичны ориентированные включения сульфосмутитов в галените, реже – в пирите (фиг. 7д, 7е; фиг. 8), диагностируемые с большим трудом из-за близости оптических свойств этих минералов и обычно крайне мелких размеров их выделений. В настоящее время по составу и, отчасти, оптическим свойствам в рудах Бугдаинского месторождения идентифицированы минералы висмутин–айкинитового ряда (висмутин, фридрихит, айкинит), эмпеллит, виттихенит, матильдит и берриит. Некоторые изученные на микрозонде выделения висмутовых сульфосолей по составу не сопоставимы ни с одним из известных минералов. Поскольку они обладают крайне малыми размерами и всегда находятся в тесных прорастаниях друг с другом (фиг. 7д, 7е; фиг. 8), вполне вероятно, что они являются смесями и поэтому здесь не рассматриваются.

Минералы **висмутин–айкинитового** ряда представлены висмутином, фридрихитом, айкинитом и фазами промежуточного фридрихит–айкинитового состава. **Висмутин** образует выделения неправильной формы с извилистыми границами размером в 0.0n – 0.1 мм. Часто он выполняет полости в промежутках между кристаллами кварца, развивается в кристаллах пирита III, корродируя их. По периферии кристаллов висмутина, а также по трещинам в них местами развивается виттихенит. Для висмутина характерна постоянная примесь Cu и Pb (первые мас. %) и незначительная, но также постоянная (около 0.7 мас. %) примесь Sb (табл. 3, анализы 1–4). Близкое значение арфы Cu и Pb позволяет в составе висмутина выделить айкинитовую компоненту, равную примерно 5%. Это означает, что по составу изученные минералы занимают промежуточное положение между висмутином и пекоитом. **Фридрихит** идентифицирован по составу (табл. 3, анализ 5), который хорошо рассчитывается на формулу этого минерала.

**Айкинит** – наиболее распространен среди минералов этого ряда. Его небольшие количества в виде мелких (0.0n–0.1 мм) удлиненных выделений неправильной формы достаточно часто обнаруживаются в срастаниях с галенитом и халькопиритом, а также виттихенитом. По содержаниям основных компонентов состав изученных айкинитов образует



Фиг. 8. Срастания галенита с сульфосолями.

а – вrostки матильдита (Mtd) в галените (Gn), в верхней части снимка – игольчатый матильдит в пирите (Py), кварц (Qtz); б – эмплектит (Em) и другие сульфосоли в галените; в – фрагмент верхней части снимка (б) с отчетливо выраженным прорастанием эмплектита (Em) по плоскостям спайности в галените (Gn), минералы замещаются и пересекаются виттихенитом (Wtc), тетраэдритом (Td); г – нижний фрагмент снимка (б) с эмплектитом (Em) и беррионитом (Ber), развивающимися по плоскостям спайности в галените (Gn), тетраэдрит (Td) и виттихенит (Wtc) пересекают этот агрегат (изображения в обратно-рассеянных электронах).

Таблица 3. Химический состав минералов висмута Бутданского месторождения, мас. %

№ п.п.	Cu 0.10*	Ag 0.14	Fe 0.08	Pb 0.27	As 0.11	Sb 0.11	Bi 0.24	S 0.04	Σ
1	1.15	Не обн.	Не обн.	3.38	Не обн.	0.66	74.95	18.95	99.09
2	1.41	»	»	3.52	»	0.65	74.72	19.22	99.52
3	1.27	»	»	3.19	»	0.67	75.63	19.14	99.90
4	1.36	»	»	3.05	»	0.65	74.19	19.36	98.61
5	9.31	»	0.32	31.01	»	0.35	42.31	17.23	100.53
6	11.12	»	Не обн.	34.76	»	Не обн.	37.72	16.23	99.83
7	11.64	»	»	35.48	»	»	36.71	16.73	100.66
8	10.93	»	»	34.57	»	»	37.79	16.19	99.48
9	10.17	»	»	33.31	»	»	40.49	16.15	100.12
10	10.72	»	»	35.67	»	»	37.11	16.32	99.82
11	10.78	0.19	»	34.13	»	»	37.86	16.59	99.55
12	10.87	0.50	»	33.60	»	»	38.57	16.00	99.54
13	10.78	Не обн.	»	35.09	»	»	37.32	16.37	99.56
14	10.26	0.41	»	33.34	»	»	38.21	16.45	98.67
15	9.79	Не обн.	0.26	34.11	0.46	0.36	38.21	16.53	100.38
16	11.08	»	Не обн.	34.85	Не обн.	Не обн.	36.98	16.60	99.51
17	5.92	5.08	»	37.88	»	0.70	32.85	16.49	99.72
18	19.38	0.43	»	2.20	»	Не обн.	59.17	19.17	100.35
19	20.52	0.68	»	Не обн.	»	»	59.86	19.10	100.15
20	17.85	0.68	0.27	»	»	»	61.24	19.21	99.32
21	18.10	0.93	Не обн.	1.03	»	»	62.01	18.95	101.02
22	38.11	0.79	»	Не обн.	»	»	41.83	18.65	99.38
23	39.31	0.52	»	»	»	»	40.48	19.40	99.71
24	37.30	0.67	»	»	»	»	42.26	19.05	99.28
25	37.43	1.51	»	»	»	»	40.98	19.16	99.08
26	37.80	1.34	»	»	»	»	41.01	19.78	99.93
27	37.93	1.02	»	»	»	»	41.12	19.16	99.23
28	35.07	2.15	0.49	»	»	»	41.99	20.01	99.71
29	36.10	2.18	Не обн.	1.02	»	»	41.09	19.50	99.89
30	0.22	28.02	»	Не обн.	»	(0.59)**	53.21	16.43	98.47
31	6.62	6.80	»	19.00	»	Не обн.	51.00	17.13	100.55
32	6.33	7.00	»	19.56	»	»	50.76	17.00	100.65
33	6.77	6.82	»	19.40	»	»	51.06	17.23	101.28
34	6.86	6.80	»	19.16	»	»	51.58	17.26	101.66
35	6.73	6.86	»	18.80	»	»	51.12	17.17	100.68
36	6.65	6.85	»	19.11	»	»	51.10	17.17	100.88

Примечание. 1–4 – висмутин; 5 – фридрихит; 6–17 – айкинит; 18–21 – эмплектит; 22–29 – виттихенит; 30 – матильдит; 31–36 – берриит.

\* – предел обнаружения элемента; \*\* – Te.

практически непрерывный ряд в сторону фридрихита от собственно айкинита до соотношения айкинит-фридрихит примерно 40 : 60. Кроме основных компонентов некоторые из изученных выделений айкинита содержат небольшие (0.36–0.7 мас. %) концентрации Fe (табл. 3, анализ 15), Sb (анализ 15)

и Ag (анализы 11, 12, 14, 17), причем в последнем содержание Ag достигает 6.4 мас. %, что не характерно для минералов этой серии.

*Матильдит* встречается достаточно редко, обычно в виде хорошо образованных тончайших (от

0 л до 1–3 мкм в толщину) игольчатых выделений в пирите и галените, в которых он создает закономерно ориентированные микровростки (в виде решетки согласно октаэдрическим направлениям спайности галенита или субпараллельных – в пирите) (фиг. 8а). Эмпеллит подобно матильдиту образует едва различимые под микроскопом игольчатые микровростки в галените (фиг. 8б, 8в), кристаллизуясь, как и матильдит, по направлениям спайности галенита. Эти минералы часто пересекаются прожилками виттихенита (фиг. 8г), который замещается только ковеллином и халькоzinом, т.е. относится к числу поздних минералов рудного процесса.

В составе эмпеллита и виттихенита (табл. 3, анализы 18–29) устанавливается постоянное присутствие примеси Ag и в, единичных случаях, незначительное – Fe, Sb и Pb, в матильдите (табл. 3, анализ 30) – Cu и Te. Примесь Te в составе матильдита не является типичной для этого минерала, однако находки в Бугдаинском месторождении собственных минералов Te, таких как рассмотренный выше tellurистый полибазит, а также тетрадимит и сервеллит свидетельствуют об их неслучайности. Что касается впервые установленного здесь тетрадимила, то он образует тончайшие (2–4 мкм) включения в пирите, находящемся в срастании с As-Sb блеклой рудой внутри прожилка пирита среди молибденита (фиг. 6в). Сервеллит  $[(\text{Ag}, \text{Cu})_4\text{TeS}]$  встречен в виде округлых включений в галените (с отражением несколько ниже галенита) только в срастании с электрумом (фиг. 5г). Во всех анализах он содержит около 5 мас. % Cu.

Берриит обнаруживается довольно часто в виде микроподвключений (наиболее часто – не более 5–7 мкм по длиной оси) в галените (фиг. 7д, 7е), иногда ориентированных в нем подобно эмпеллиту и матильдиту по октаэдрическим направлениям спайности (фиг. 8г). Минерал идентифицирован исключительно на основе данных по составу (табл. 3, анализы 31–36), который хорошо пересчитывается на формулу этого минерала.

#### Минералы рассеянных элементов

Редкие минералы In – джалиндит и Cd – гринокит ранее в рудах Бугдаинского месторождения не отмечались. Они были обнаружены среди продуктов гипергенных преобразований руд.

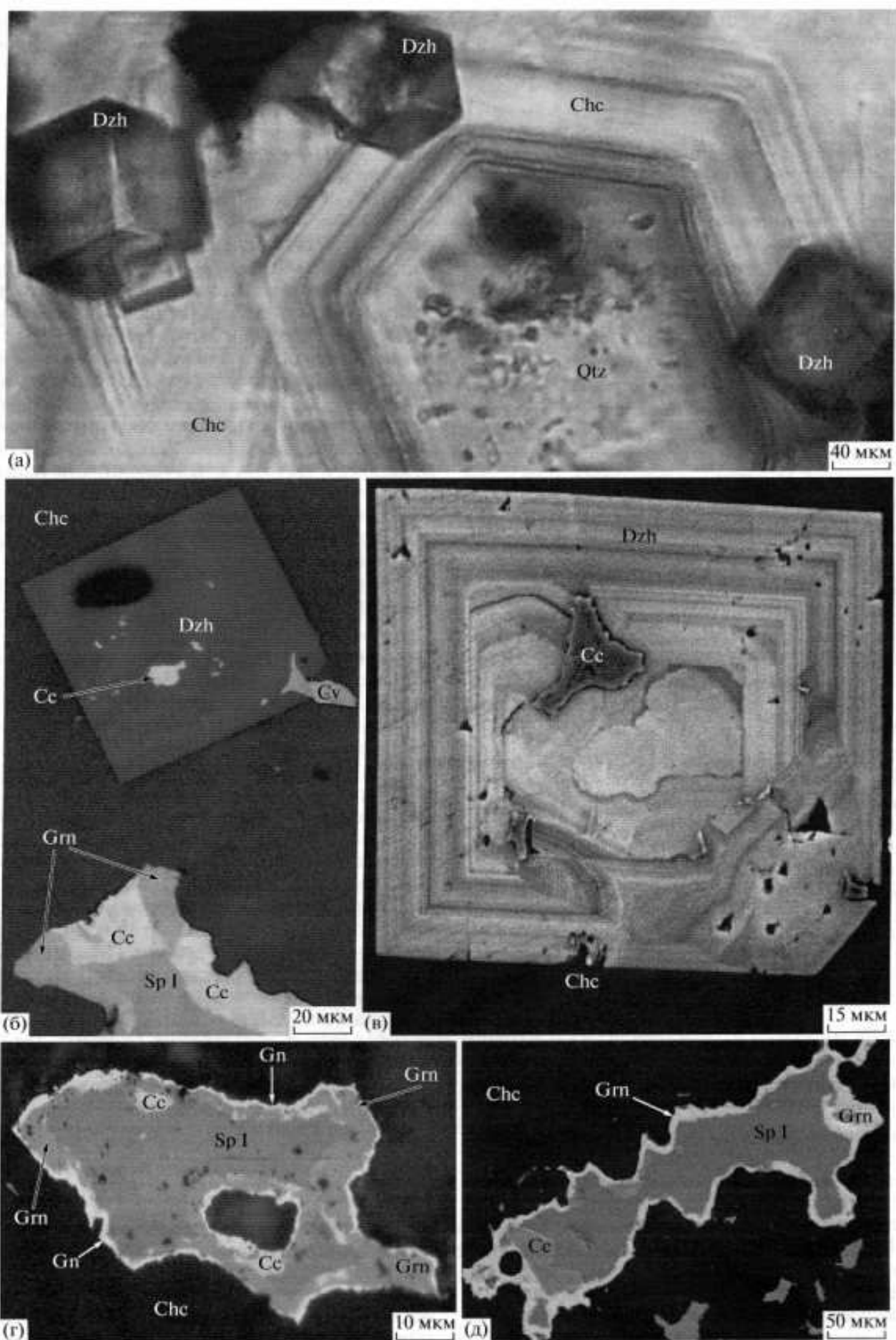
Джалиндит  $[\text{In}(\text{OH})_3]$  установлен в кварцевой жиле с золото-полиметаллическим оруднением на глубине около 50 м. Он диагностирован на основании сходства его химического состава, оптических свойств и сингонии с синтетической фазой  $[\text{In}(\text{OH})_3]$ , (Fricke, Seitz, 1947) и джалиндитом, впервые описанным как новый минерал А.Д. Генкиным и И.В. Муравьевой (1963). Минерал представлен преимущественно кубическими кристаллами (фиг. 9), местами осложненными гранями октаэдра.

Джалиндит из Бугдаинского месторождения детально охарактеризован в публикации (Киселева и др., 2008), поэтому здесь рассматриваются только установленные в последнее время некоторые особенности его состава и внутреннего строения. В составе почти бесцветной прозрачной разновидности джалиндита определены (мас. %): In (63.27), O (34.68) и небольшая примесь Fe, содержание которого непостоянно в разных частях кристаллов. В центрах кристаллов и в большинстве случаев в их внешних частях установлены минимальные количества Fe (0.61–0.9 мас. %), в остальных – как правило, наблюдается осциляторная зональность, выраженная в периодическом чередовании существенно индивидуальных и более железистых (до 3.6 мас. % Fe) зон. Важно отметить, что в центральных частях отдельных кубических кристаллов джалиндита сохранились его фрагменты, имеющие колючоморфно-зональное строение. Этот факт, как и постоянная пространственная приуроченность этого минерала к халцедону, с высокой долей вероятности указывают на первичное отложение джалиндита при участии коллоидных растворов. Благодаря высокой кристаллизационной способности как минерала кубической сингонии джалиндит приобрел современный кристаллический облик в результате последующей трансформации гелей.

Гринокит образует в халцедоне скопления зерен неправильной, чаще удлиненной формы, размером до 50 мкм, обычно в непосредственной близости от джалиндита, редко в срастании с ним. В составе гринокита (PCMA, четыре определения) установлены (мас. %): Cd – от 74.08 до 76.5, S – от 21.93 до 23.5, Zn – до 2.19 и Cu – до 1.71. Характерно нахождение гринокита и в виде каемок толщиной от нескольких до 20 мкм вокруг сфалерита I (фиг. 9г). Вдоль контакта сфалерита I и гринокита местами развивается халькоzin, проникая в эти минералы. Постоянное соприкосновение гринокита, как и джалиндита, с железистым сфалеритом I, обладающим повышенными содержаниями In и Cd, свидетельствует о том, что он мог являться источником данных элементов. В промежутках между халькоzinом и гринокитом иногда встречается галенит поздней генерации в межзерновом пространстве этих минералов, местами обрастают их (фиг. 9д). Примечательно, что в ассоциации с гринокитом, халькоzinом и поздним галенитом встречено максимальное количество самородного серебра и его амальгам.

#### ПОСЛЕДОВАТЕЛЬНОСТЬ ФОРМИРОВАНИЯ РУДНОЙ МИНЕРАЛИЗАЦИИ

Результаты изучения разномасштабных (обнажения, штуфы и шлифы) структурных взаимоотношений минералов и минеральных ассоциаций в основных типах руд и околорудных метасоматитах Бугдаинского месторождения позволили подразделить минералообразующий процесс на четыре стадии с



**Фиг. 9.** Срастания джалиндита, гринокита, сфалерита, минералов группы CuS–Cu<sub>2</sub>S и халцедона.

а – кубические кристаллы джалиндита (Dzh) в халцедоне (Chc), зонально развивающимся вокруг кристалла кварца (Qtz) (пластика, проходящий свет); б – кристаллы джалиндита (Dzh) в срастании с халькозином (Cc) и ковеллином (Cv), эти минералы совместно с гринокитом (Grt) обрастают сфалеритом I (Sp I), (полированный шлиф); в – кристалл джалиндита (Dzh) в халцедоне (Chc) с сохранившимися фрагментами колломорфной структуры (в обратно-рассеянных электронах); г – последовательное нарастание гринокита (Grt) и галенита (Gn) на сфалерите I (Sp I), халькозин (Cc) (полированный шлиф); д – кайма гринокита (Grt) по сфалериту I (Sp I), халькозин (Cc) (в обратно-рассеянных электронах).

последовательно сменяющими друг друга минеральными ассоциациями. Схема последовательности формирования гидротермальной минерализации с учетом представлений предшествующих исследований представлена на фиг. 10. В целях упрощения в схему не внесены важные с точки зрения эволюции минералообразования, но слабо проявленные в пределах месторождения процессы, в частности, пропилитизация со своим набором минералов. По той же причине не выделена грязенизация, не отмечен ряд второстепенных минералов.

Стадии подразделяются: дорудная (I), кварц-молибденитовая (II), золото-полиметаллическая (III) и пострудная (IV) (фиг. 10), отделенные одна от другой периодами тектонической активности. Две из них являются продуктивными: II стадия – на Mo, W, III – на полиметаллы и Au.

К *дорудной стадии* отнесены продукты высокотемпературных преобразований вмещающих пород, вызванные внедрением штока риолит-порфиров. Это привело к последовательному формированию калишпатовых метасоматитов (в шлирах и ксенолитах – флогопита, биотита, иногда – салита, амфиболя, магнетита и сфена) (*ассоциация I*, фиг. 10), затем зоны окварцевания в виде кварцевых жил, прожилков и брекчий (*ассоциация 2*), и далее кварц-магнетитовых прожилков (*ассоциация 3*).

*Кварц-молибденитовая стадия* выделена на основании наблюдавшихся пересечений кварц-молибденитовым жилами и прожилками продуктов высокотемпературных преобразований вмещающих пород дорудной стадии. Ранняя, *кварц-молибденитовая ассоциация 4* (фиг. 10) этой стадии обычно приурочена к кварцевым и кварц-молибденитовым прожилкам. Кроме кварца и молибденита I, она включает также шеелит, который, судя по взаимоотношениям с молибденитом (фиг. 6а), образовался в начале данной стадии. Ассоциация 4 сменяется *ассоциацией 5* (кварц + пирит I). Затем отлагаются минералы *ассоциации 6* (кварц + молибденит II) (фиг. 10).

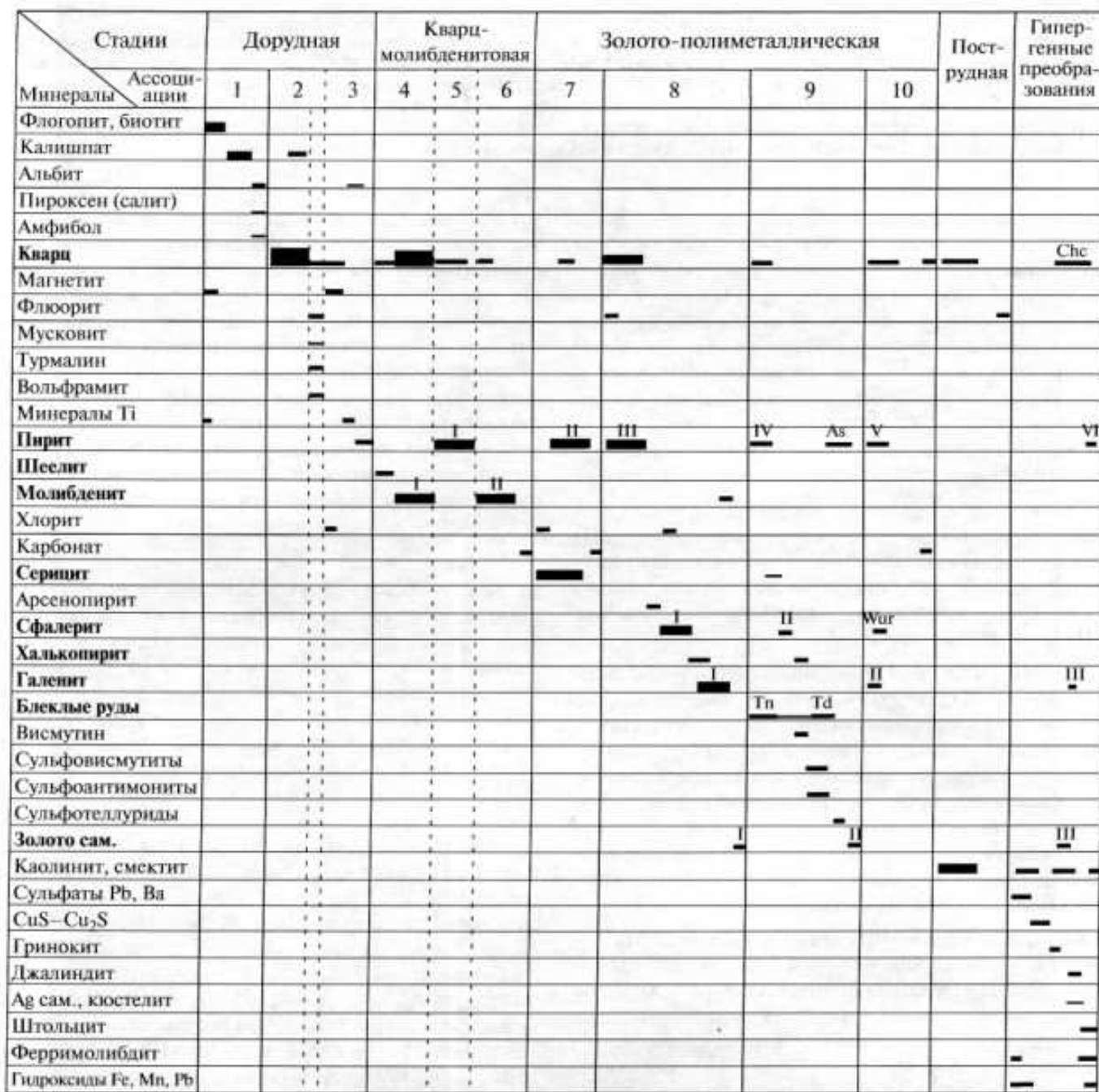
*Золото-полиметаллическая стадия.* Основные кварц-сульфидные жилы с золото-полиметаллическими рудами, в отличие от контролируемого главным образом трещинами северо-восточного и северо-северо-восточного простираций W-Mo-оруденения, локализуются в северо-западных тектонических нарушениях, в некоторых случаях – меридиональных и очень редко – в структурах других направлений, образовавшихся в более ранний период и места-

ми вмещающих молибденитовые руды. В целом золото-полиметаллическая минерализация пространственно обособлена от общего контура штокверковых молибденитовых руд (фиг. 2) и оторвана от них во времени, поскольку кварц-молибденитовые жилы и прожилки отчетливо пересекаются кварц-сульфидными прожилками с минерализацией золото-полиметаллической стадии (фиг. 3г). По представлениям В.Г. Кругловой и др. (1965) и Б.Л. Рыболова (1998 г.), это связано с тем, что в период между кварц-молибденитовой и золото-полиметаллической стадиями на месторождении произошло резкое изменение плана деформации.

К наиболее ранней в пределах золото-полиметаллической стадии *серицитовой ассоциации* (7), отнесены, как уже отмечалось, серицит с небольшим количеством кварца и пирита II, образующие как серицитовые метасоматиты в обрамлении кварц-сульфидных жил, так и цементирующие обломки кварц-молибденитовых жил в тектонических брекчиях. Затем образуется *кварц-сульфидная ассоциация* (8, фиг. 10) с последовательным отложением пирита III, иногда с мелкими включениями высокопробного самородного золота I. Местами пирит III сопровождается небольшим количеством арсенопирита, Fe-содержащего сфалерита I, халькопирита и галенита. Минералы этой ассоциации пересекаются и замещаются минералами золотопродуктивной *сульфосульфальной ассоциации* (9) – последовательно отложенными As-Sb-блеклыми рудами (с образованием пирита IV), kleofаном (сфалерит II), Cu-Ag-сульфоантимонитами и Cu-Ag-Pb-сульфосимутитами, теллуридами и электрумом (золото II). Мышиаковистый пирит, который пересекает по трещинам ранее отложенные пирит, арсенопирит и сфалерит, является одним из поздних минералов этой ассоциации.

*Халцедон-карбонатная ассоциация* (10, фиг. 10), заключающая минералообразование золото-полиметаллической стадии, выделяется благодаря присутствию текстур пересечения и цементирования минералов предшествующих ассоциаций халцедоновидным кварцем и различными по составу карбонатами, которые иногда сопровождаются пиритом V, kleofаном, вюрцитом и небольшим количеством галенита.

Завершающая гидротермальный процесс на Бугданинском месторождении *пострудная стадия*, представлена аргиллизитами, имеющими региональное распространение и широко проявленными почти на всех месторождениях Восточного Забай-



Фиг. 10. Схема последовательности минералообразования.

Жирный шрифт — глиниевые минералы (толщина линий пропорциональна интенсивности процесса). As — мышьяковистый пирит, Tn — теннантит, Td — тетраэдрит, Wur — вюрцит, Chc — халцедон. Римские цифры I—IV — генерации минералов.

калья независимо от их формационной принадлежности. Минерализация этой стадии развивается вдоль отдельных тектонических швов по всем типам минеральных образований. В ее составе основную роль играют каолинит, смектит и кварц, в небольших количествах отмечается флюорит.

После завершения гидротермального процесса руды месторождения подверглись гипергенным преоб-

разованиям, которые в виде линейных зон окисления вдоль тектонических нарушений прослеживаются на глубину до 80 м и реже — более. Эти изменения выражены в появлении глинистых минералов, оксидов и гидроксидов железа и марганца, иногда — барита, в развитии по галениту сульфатов, реже — оксидов, карбонатов, фосфатов, вольфраматов и молибдато-вольфраматов свинца. В кварц-молибденитовых жилах местами образуется ферримолибдит, редко — иль-

**Таблица 4.** Значения  $\delta^{34}\text{S}$  ( $\text{\textperthousand}$ ) основных сульфидных минералов продуктивных стадий Бугдаинского месторождения и расчетные оценки соответствующих значений  $\text{H}_2\text{S}$  водного флюида

№ образца	Минерал и его генерация	Ассоциация минералов	$T, ^\circ\text{C}^*$	$\delta^{34}\text{S}$ минерала	$\delta^{34}\text{S H}_2\text{S}_{\text{aq}}$
<i>Кварц-молибденитовая стадия</i>					
Бу-74	Молибденит I	4	450	1.08	0.32
Бу-95	Пирит I	5	450	1.41	0.65
Бу-51а	»	5	450	1.29	0.53
<i>Золото-полиметаллическая стадия</i>					
43-91б	Пирит II	7	350	3.07	2.04
Шт-1	»	7	350	1.86	0.83
Отв-1	»	7	350	1.73	0.70
Бу-10	Сфалерит I	8	280**	1.94	1.61
169-92	»	8	280**	4.28; 4.13	3.95; 3.80
188-Бу	»	8	280**	4.37	4.04
От-3	»	8	280**	4.67	4.34
188-Бу	Галенит I	8	280**	3.07	5.13
Бут-6	»	8	280**	3.71	5.77
Бу-22/5	»	8	280**	3.15	5.21
От-3	»	8	280**	2.31	4.37
Бут-6	Халькопирит	8	280**	0.78	0.94
Бу-22/5	»	8	280**	0.98	1.14
Бу-18	Сфалерит II	9	250	0.78	0.41
Бу-18	Пирит IV	9	250	-0.19	-1.56
Бу-38	»	9	250	-0.26	-1.72
165-112	»	9	250	-1.72	-3.96
126-92	»	9	250	-0.67	-2.13
Бу-104	»	9	250	-0.91	-2.37

Примечание. 4, 5 и т.д. – соответствуют номерам ассоциаций минералов на фиг. 10; \* – средневзвешенные значения температуры формирования минеральных ассоциаций (по данным табл. 5); \*\* – расчетная оценка серно-изотопной температуры образования сфалерита и галенита (по образцу От-3; см. текст).

земаннит и повеллит. По халькопириту, галениту и сфалериту в кварц-полиметаллических жилах развиваются минералы ряда  $\text{CuS}-\text{Cu}_2\text{S}$ , низкопробное золото. К прожилкам англезита приурочены мелкие комковатые агрегаты самородного серебра, а джалиндит и гринокит – к участкам проявления зоны вторичного сульфидного обогащения.

## РЕЗУЛЬТАТЫ ИЗОТОПНЫХ ИССЛЕДОВАНИЙ

Изотопный состав серы изучен в основных сульфидных минералах – молибдените (1 проба), пирите (10), сфалерите (5), галените (5) и халькопирите (2), представляющих кварц-молибденитовую и золото-полиметаллическую стадии. Измеренные значения  $\delta^{34}\text{S}$  приведены в табл. 4. Можно видеть, что в молибдените и пирите I из кварц-молибденитовой стадии значения  $\delta^{34}\text{S}$  изменяются незначи-

тельно (+1.08...+1.41%). В то же время в минералах золото-полиметаллической стадии они испытывают более заметные вариации. Так, в пирите II из ранней пирит-кварц-серпентитовой ассоциации (7)  $\delta^{34}\text{S}$  варьирует ( $\text{\textperthousand}$ ) от +1.73 до +3.07 ( $n = 3$ , среднее +2.22), в представляющих кварц-сульфидную ассоциацию (8) сфалерите I ( $n = 5$ ) – от +1.94 до +4.67 (+3.88), галените I ( $n = 4$ ) – от +2.31 до +3.71 (+3.06) и халькопирите ( $n = 2$ ) – от +0.78 до +0.98 (+0.88). Значения  $\delta^{34}\text{S}$  в минералах сульфосольной ассоциации (9): в сфалерите II (+0.78%) и в пирите IV ( $n = 5$ ) – от -0.19 до -1.72 (-0.75%).

Для оценки величины  $\delta^{34}\text{S H}_2\text{S}_{\text{aq}}$  гидротермальных флюидов были использованы уравнения зависимостей факторов фракционирования изотопов серы между минералами и водным раствором от температуры (Ohmoto, Rye, 1979). При расчетах в качестве температуры образования минералов были приняты средневзвешенные значения  $T_{\text{ном}}$ , полученные на ос-

Таблица 5. Результаты микротермических исследований флюидных включений в минералах Бугданинского месторождения

Минерал	Тип ФВ	<i>n</i>	Вид ФВ	$T_{\text{рос}}^{\circ}\text{C}$	$T_{\text{рос}}^{\circ}\text{C}$	$T_{\text{пл. лед}}^{\circ}\text{C}$	$T_1^{\circ}\text{C}$	$T_2^{\circ}\text{C}$	$C, \text{мас. \%}$	NaCl	$D, \text{г}/\text{см}^3$
<i>Лоджийская стадия</i>											
Q	F-1	3	П	-10...-4	-6.9...-5.0	378-311	576-549	126-128	10.4-7.9	70.5-66.5	1.49-1.41
*	F-1	2	*	-59...-55	-56...-45	393-386	480-453	122-117	57.1-53.6	1.22-1.17	1.21-1.16
VLS <sub>1</sub>	*	9	*	576-549	-30...-24	359-355	454-415	121-116	53.8-49.1	9.6-8.4	9.6-8.4
*	*	4	*	480-453	-39...-36	-6.3...-5.4	-26...-24	11.9-13.7	18.6-17.5	0.90-0.89	0.90-0.89
*	*	3	*	454-415	-27...-26	-14.9...-13.7	-25...-24	-5.2...-4.3	8.1-6.9	0.84-0.81	0.84-0.81
VL***	*	3	*	379-374	-26...-24	-14.9...-13.7	-25...-24	-5.2...-4.3	11.9-13.7	0.90-0.89	0.90-0.89
*	*	5	*	318-313	-27...-26	-14.9...-13.7	-25...-24	-5.2...-4.3	8.1-6.9	0.84-0.81	0.84-0.81
VL***	*	5	*	290-277	-25...-24	-14.9...-13.7	-25...-24	-5.2...-4.3	11.9-13.7	0.90-0.89	0.90-0.89
<i>Кварц-мощебенитовая стадия</i>											
Q	VL***	3	П	561-518	-44...-27	-13.2...-12.4	-44...-27	-13.2...-12.4	17.1-16.3	62.0-45.9	0.52-0.51
*	VLS <sub>1</sub> ***	13	*	549-404	-41...-30	549-404	549-404	516-385	11.3-11.1	61.1	1.13-1.11
*	*	1	*	510	-36	351	351	510	1.32	48.3-45.7	1.21-1.18
VLS <sub>2</sub> ***	*	10	*	401-384	-42...-33	313-207	420-378	408-384	12.7-6.6	66.6-64.6	0.66-0.64
VLS <sub>2</sub> ***	*	14	*	420-378	-33...-24	-8.9...-4.1	-13.0...-9.3	390-382	16.9-13.2	0.80-0.73	0.80-0.73
VL	*	5	*	390-382	-43...-34	-13.0...-9.3	-13.0...-9.3	390-382	23.3-23.0	0.90-0.85	0.90-0.85
VL*	*	2	*	390-305	-62...-61	-26.0...-25.4	-26.0...-25.4	390-305	0.90-0.85	0.90-0.85	0.90-0.85
<i>Золото-полиметаллическая стадия</i>											
Q	VL	3	П	374-370	-30...-27	-6.8...-4.3	-30...-27	-6.8...-4.3	10.2-6.9	0.71-0.64	5.6-3.4
*	*	9	*	372-359	-28...-25	-3.4...-2.0	-32...-23	-8.0...-3.8	11.6-6.2	0.65-0.57	3.2-2.9
VL****	*	12	*	362-344	-32...-23	-1.9...-1.7	-16...-11	-11.0...-6.9	>20-10	0.66-0.63	>20-10
*	*	4	*	347-334	-32...-28	-11.0...-6.9	-28...-24	-28...-24	14.4-10.2	0.89-0.77	15.7-6.9
VL**	*	8	*	338-334	-27...-22	-7.3...-5.8	-13...-10	-13...-10	26>>23	0.98-0.92	11.0-9.0
VL***	*	13	*	339-296	-29...-23	-11.0...-6.9	-22...-17	-22...-17	0.94-0.92	0.94-0.92	0.94-0.92
VL**	*	11	*	327-297	-13...-10	-11.7...-4.3	-27...-22	-27...-22	0.97-0.93	7.2-6.3	0.70-0.66
VL	*	10	*	223-217	-13...-10	-7.3...-5.8	-31...-24	-31...-24	17.2-8.7	9.6-6.7	0.94-0.90
VL***	*	25	ПВ	227-190	-43...-36	-14.3...-9.7	-26...-25	-4.5...-3.9	18.0-13.6	5.1-2.6	0.96-0.93
VL	*	3	П	354-348	-31...-24	-4.2...-2.4	-31...-24	-4.2...-2.4	6.7-4.0	0.75-0.66	6.7-4.0
Flu	*	13	*	331-307	-31...-24	-6.3...-4.2	-31...-25	-6.3...-4.2	9.6-6.7	0.94-0.90	9.6-6.7
*	*	5	*	320-300	-43...-36	-3.3...-1.5	-34...-31	-3.3...-1.5	5.1-2.6	0.96-0.93	5.1-2.6
*	*	6	ПВ	331-320	-31...-24	-20.3...-18.4	-25...-23	-20.3...-18.4	22.6-21.3	0.93-0.91	22.6-21.3
Sp II	*	11	П	217-195	-31...-25	-1.0...-0.4	-30...-25	-1.0...-0.4	1.7-0.7	0.71-0.67	1.7-0.7
*	*	4	*	162-141	-34...-31	-8.2...-7.4	-26...-24	-8.2...-7.4	11.9-11.7	0.93-0.85	11.9-11.7
QcAu	*	8	*	320-311	-25...-23	-8.2...-7.4	-297-228	-8.2...-7.4	0.93-0.85	0.93-0.85	0.93-0.85

Примечание.  $T_1$  — температура исчезновения газа;  $T_2$  — температура растворения твердой фазы;  $n$  — количество измеренных ФВ; ПВ — первичные ФВ; ПВ — вторичные ФВ; \* — C, мас. % - эвак.  $\text{CaCl}_2$ ; \*\* — концентрация в интервале между электрической и насыщенной, \*\*\* — томогензация в газе, \*\*\*\* — наблюдалось плавление гидратов солей в интервале от 0 до 35°C.

нове данных микротермометрических исследований (табл. 5) в минералах кварц-молибденитовой и золото-полиметаллической (ассоциации 7 и 9) стадий. Для кварц-сульфидной ассоциации (8) принята температура 280°C, которая соответствует температуре образования существующих сфалерита и галенита (табл. 4, образец № От-3), рассчитанной по уравнению  $[T(K) = 0.85(10^3)/(Sp-Gn)^{1/2}]$  (Field, Fifarek, 1985), отражающему зависимость фракционирования изотопов серы между существующими сфалеритом и галенитом от температуры.

Вычисленные значения изотопного состава серы  $H_2S_{aq}$  гидротермальных флюидов (табл. 4) показывают, что  $\delta^{34}S H_2S_{aq}$  флюида, из которого кристаллизовалась минерализация кварц-молибденитовой стадии, меняются незначительно ( $+0.32\ldots+0.65\%$ , среднее  $+0.5\%$ ). В то же время изотопный состав  $H_2S_{aq}$  раствора, ответственного за оруденение золото-полиметаллической стадии, характеризуется более значительной изменчивостью. В растворах, сформировавших пирит-кварц-сернистиковую ассоциацию (7), значения  $\delta^{34}S H_2S_{aq}$  варьировали от  $+0.70$  до  $+2.04$  (среднее  $+1.19\%$ ). Для растворов, из которых образовались минералы кварц-сульфидной (8) ассоциации, характерна еще более высокая изменчивость (табл. 4); величины  $\delta^{34}S H_2S_{aq}$  относительно ранних порций раствора ( $+4.04\ldots+5.77\%$ ) существенно снижаются к поздним ( $+0.94\ldots+1.14\%$ ), составляя в среднем  $+3.66\%$ . Эта тенденция сохраняется и в растворах, сформировавших минерализацию сульфосольной ассоциации (9), значения  $\delta^{34}S H_2S_{aq}$  в которых становятся отрицательными (табл. 4). Рассмотренные данные в целом укладываются в интервал  $0 \pm 5\%$ , который в соответствие с (Field, Fifarek, 1985; Ohmoto, Goldhaber, 1997) обычно приписывают магматическому источнику серы.

## РЕЗУЛЬТАТЫ ИЗУЧЕНИЯ ФЛЮИДНЫХ ВКЛЮЧЕНИЙ

Индивидуальные флюидные включения (ФВ) были изучены методами микротермометрии и Рамановской спектроскопии.

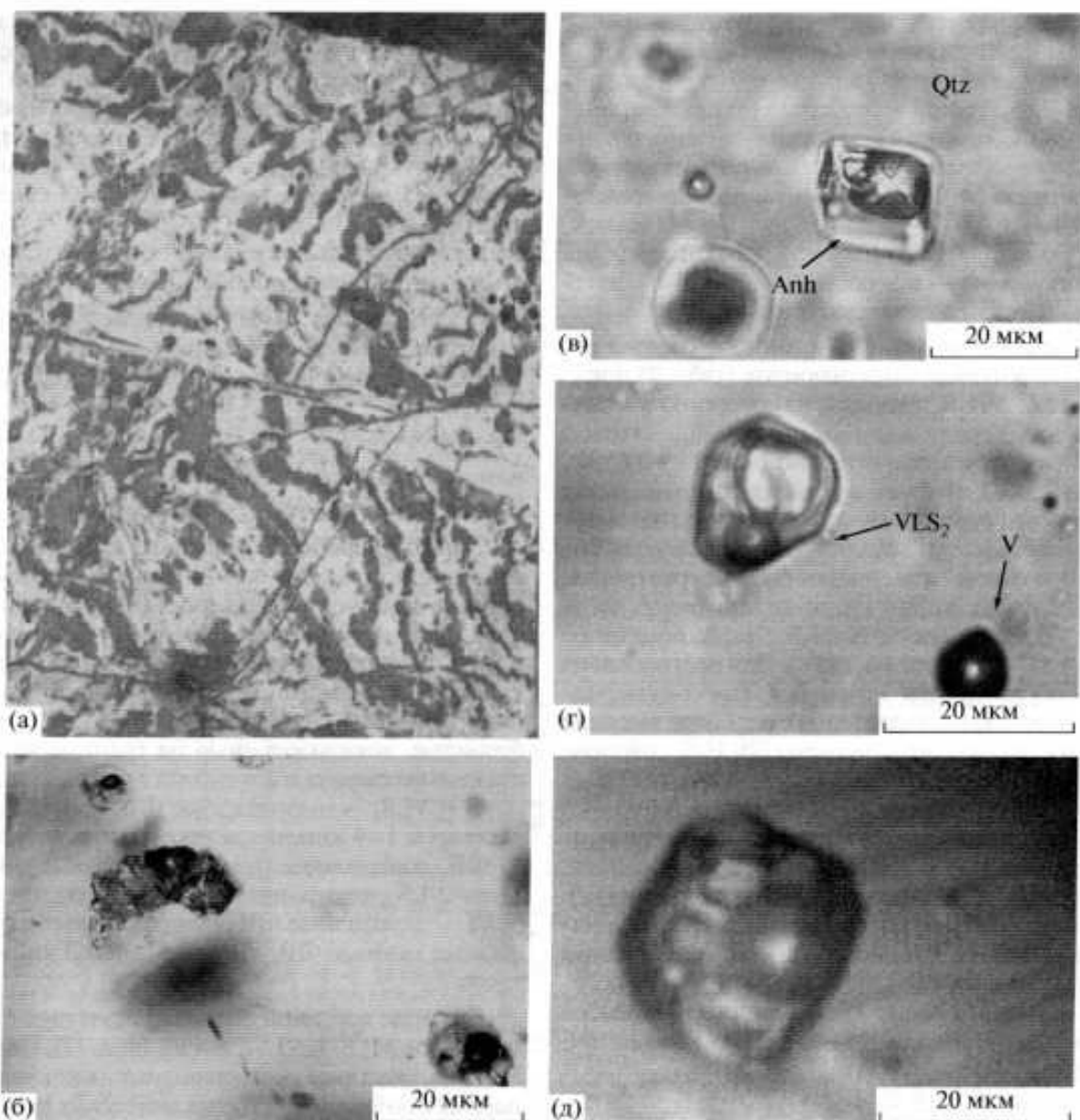
Микротермометрические исследования выполнены на термокриокамере "Linkam-THMSG-600" с длиннофокусным объективом 80 фирмы "Olympus" (ИГЕМ РАН). Точность измерений составляла  $\pm 0.2^\circ\text{C}$  для температурного интервала от  $-60$  до  $+60^\circ\text{C}$ , и  $\pm 1.5^\circ\text{C}$  – за его пределами. При интерпретации результатов было принято, что  $T_{\text{зкт}}$  от  $-21.2$  до  $-33.6^\circ\text{C}$  соответствуют Na-хлоридным растворам, от  $-33.6$  до  $-49.8^\circ\text{C}$  – Mg-хлоридным (Spenser *et al.*, 1990; Davis *et al.*, 1990), а ниже  $-49.8^\circ\text{C}$  – растворам, в которых преобладает  $\text{CaCl}_2$  (Crawford, 1981). Однако измеренные  $T_{\text{зкт}}$  растворов практически всех изученных ФВ имеют значения ниже, чем  $T_{\text{зкт}}$  химически чистых систем, что обусловлено присутствием в растворах небольших количеств иных ка-

тионов – K, Fe, Si и разнообразных рудных компонентов. Поэтому рассматриваемые ниже составы растворов отражают лишь количественно преобладающую в них соль. Концентрация растворов ФВ, содержащих растворимые твердые фазы, и плотность флюидов рассчитаны по уравнениям Брауна и Лэм для системы  $\text{NaCl}-\text{H}_2\text{O}$  с помощью программы "FLINCOR" (Brown, 1989). Концентрация растворов двухфазных ФВ определялась по температуре плавления льда (Bodnar, Vityk, 1994).

Исследования ФВ методом Рамановской спектроскопии проводились в лаборатории G2RCREGU университета им А. Пуанкаре (Франция) на приборе "DILOR XY" (аналитик – Т. Ломм). Были определены состав газовой фазы, наличие или отсутствие ионов  $\text{HCO}_3^-$  в растворах ФВ, а также состав некоторых твердых фаз.

**Типы и локализация флюидных включений.** По соотношению фаз при комнатной температуре первичные включения в кварце и других минералах дорудной, кварц-молибденитовой и золото-полиметаллической стадий подразделены на 6 основных типов. Они обозначены: 1) M – раскристаллизованные расплавные включения; 2) F-1 – включения флюидов, локализованные на границе микрокристаллов флюорита и ангидрита с вмещающим кварцем; 3) VLS<sub>1</sub> – многофазные ФВ, содержащие газ, раствор и 1–4 кристалла прозрачных твердых фаз; 4) ФВ, содержащие рудные минералы: многофазные – VLS<sub>2</sub>, двухфазные – VLS<sub>2a</sub>, и газовые – VLS<sub>2b</sub>; 5) VL – двухфазные ФВ газ + раствор и 6) V – однофазные газовые ФВ, иногда с тонкой каймой раствора.

В кварце дорудной стадии присутствуют включения типов M, F-1, VLS<sub>1</sub>, V и VL (фиг. 11). Включения M-типа, которые характеризуют заключительный период становления субвуликанических пород, были обнаружены в кварцевых вкраплениниках риолит(гранит)-порфиров и в отдельных участках фестончатых кварцевых прожилков (фиг. 11а, 11б). Наиболее ранний период развития гидротермального процесса отражают своеобразные ФВ типа F-1 (фиг. 11в). Мелкие, не более 20–30 мкм, хорошо ограниченные микрокристаллы представлены флюоритом и ангидритом (диагностированы по составу, PCMA, аналитик – О.Ф. Чухрова). На границе кварца и флюорита, как правило, наблюдаются ФВ типа VL, иногда содержащие фазу жидкой  $\text{CO}_2$ , на границе с ангидритом – VLS<sub>1</sub>. По визуальной оценке, в образцах дорудного кварца преобладают газовые ФВ V-типа. Включения этого типа широко распространены во всех изученных образцах. Для различных участков образцов характерны также ФВ типа VLS<sub>1</sub>, содержащие изотропные кубические кристаллы твердых фаз с показателем преломления, близким показателю преломления кварца, что характерно для кристаллов  $\text{NaCl}$  (фиг. 11д). Двухфазные ФВ типа VL встречаются



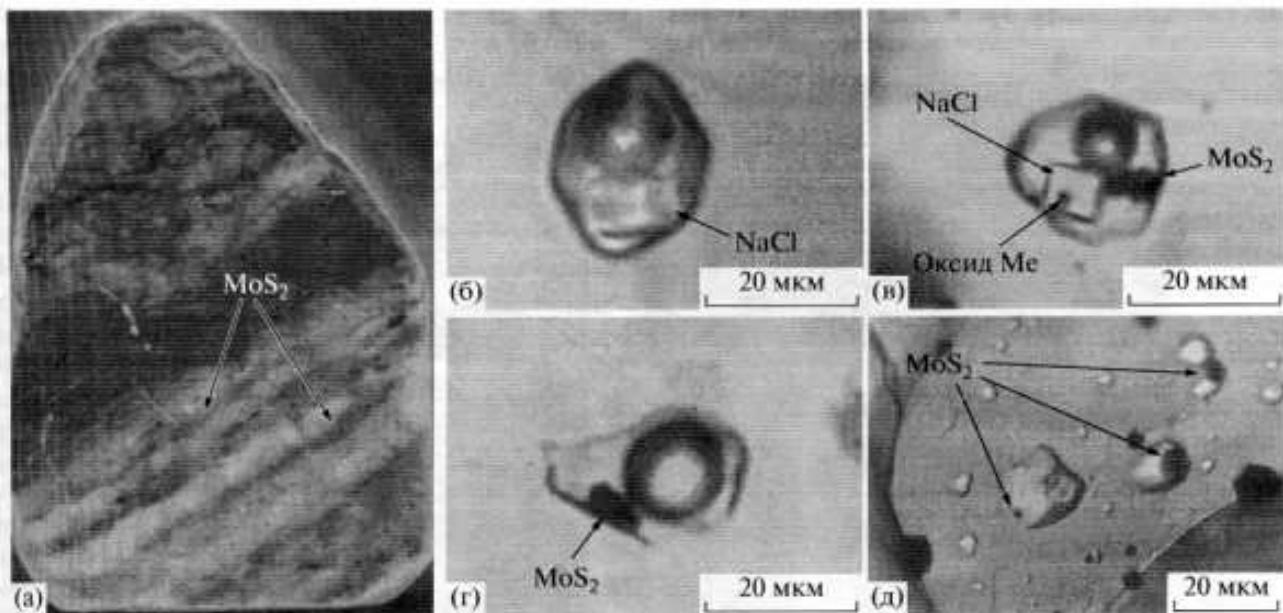
Фиг. 11. Типичные ФВ в дорудном кварце.

а – образец фестончатых прожилков кварца в риолите; б – расплавные ФВ (М); в – ФВ на границе кварца и ангидрита ( $VLS_1$ ); г – сингенетичные водносолевое ( $VLS_2$ ) и газовое ФВ (V); д – многофазное ФВ ( $VLS_2$ ).

редко. Часто ФВ V-типа локализованы в общих зонах роста с расплавными включениями М-типа и флюидными включениями F-1- и  $VLS_1$ -типа, что свидетельствует об их одновременном захвате и указывает на существование несмесимых флюидов (фиг. 11г).

Для кварца из полосчатых жил кварц-молибденитовой стадии (фиг. 12а), характерны флюидные включения типов  $VLS_1$ ,  $VLS_2$ ,  $VLS_{2a}$ ,  $VLS_{2b}$ , VL и V. Так же, как в кварце дорудной стадии, во многих участках кварцевых агрегатов преобладают ФВ V-типа. Широко распространены также ФВ  $VLS_1$ -типа с изотропными кубическими кристаллами, по-видимому, NaCl (фиг. 12б), часто локализованные в общих зонах роста с ФВ V-типа, т.е. захвачен-

ные одновременно, вследствие гетерогенного состояния флюидной системы. В большинстве ФВ  $VLS_2$ -типа рудный минерал представлен очень мелкими (~1–2 мкм) кристаллами неопределенной формы, присутствующими в сростках с кристаллами солей. В некоторых группах ФВ присутствуют также включения в виде изолированных гексагональных шестиугольных пластинок, возможно, молибденит (фиг. 12 в). Кристаллы, подобные молибдениту, встречаются также и во включениях  $VLS_{2a}$ - и  $VLS_{2b}$ -типов (фиг. 12г, 12д). Группы ФВ имеют близкие по визуальной оценке соотношения фаз, что позволяет считать эти твердые фазы дочерними минералами. Ранее подобные включения в ФВ из кварца Бугдаинского месторождения также характеризо-



Фиг. 12. Типичные ФВ в кварце кварц-молибденитовой стадии.

а – образец полосчатых кварц-молибденитовых жил, молибденит ( $\text{MoS}_2$ ); б – трехфазное ФВ ( $\text{VLS}_1$ ) с кристаллами  $\text{NaCl}$ ; в – многофазное ФВ ( $\text{VLS}_2$ ) с кристаллами  $\text{NaCl}$  и молибденита (черное в  $\text{NaCl}$  – оксид металла); г – газо-жидкое ФВ ( $\text{VL}$ ) с молибденитом ( $\text{MoS}_2$ ); д – газовые ФВ с молибденитом.

тились как дочерние фазы  $\text{MoS}_2$  (Колпун, Пизнор, 1970). Следует заметить, что кристаллы молибденита в качестве дочерней фазы отмечены и в составе ФВ на Мо-порфировых месторождениях района Клаймакс (Уайт и др., 1984). Примечательно, что двухфазные ФВ VL-типа встречаются здесь значительно чаще, чем в кварце дорудной стадии.

В кварце, флюорите и kleofане, представляющих оруденение золото-полиметаллической стадии, содержатся исключительно двухфазные ФВ VL-типа с различным соотношением фаз (фиг. 13), характеризующие условия образования минеральных ассоциаций с сульфидами, сульфосолями и самородным золотом.

#### Температуры гомогенизации и состав флюидных включений

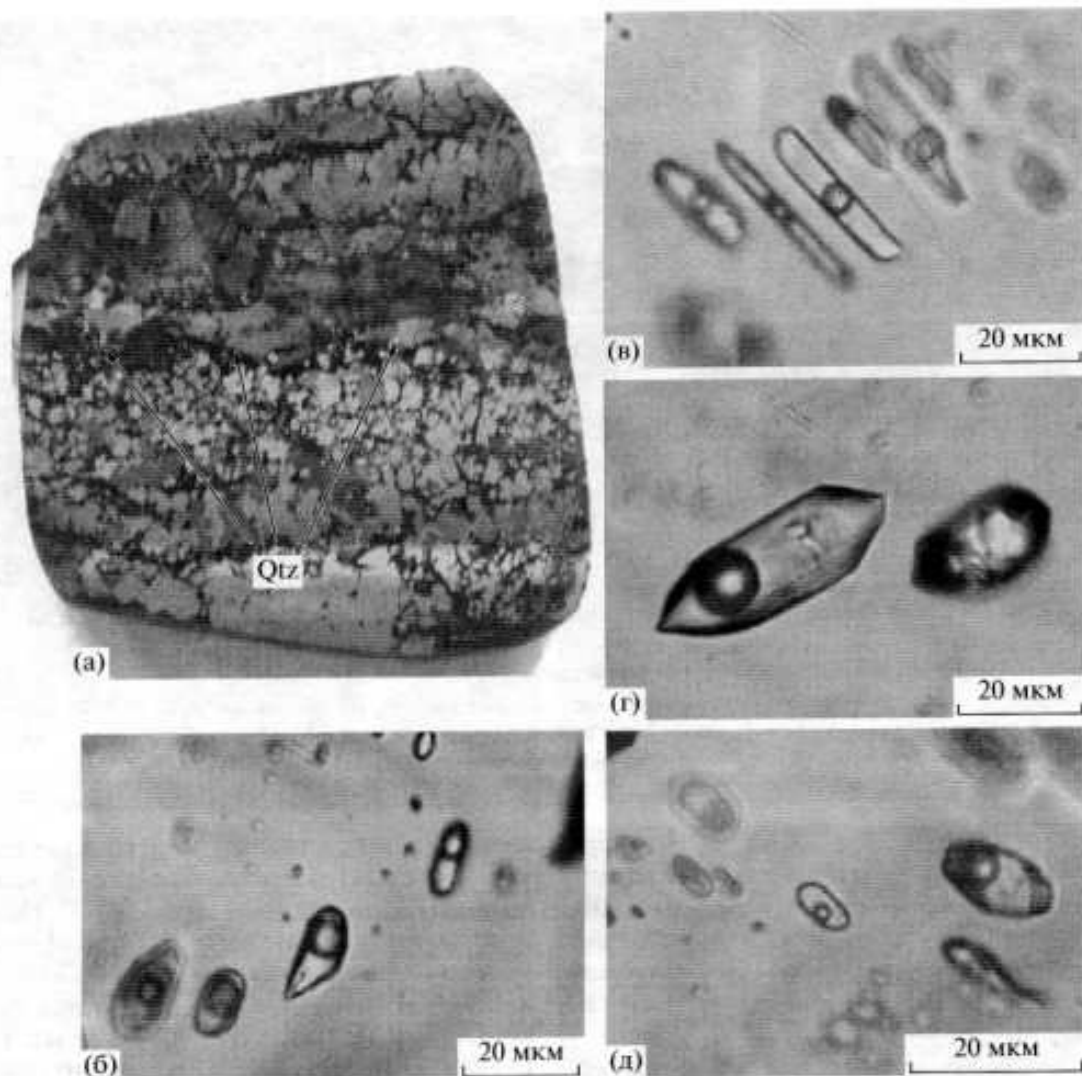
Результаты микротермометрического изучения разнотипных ФВ, характеризующих дорудную, кварц-молибденитовую и золото-полиметаллическую стадии, приведены в табл. 5.

**Дорудная стадия.** Состав расплавных включений (М-тип) нами не изучался. Флюидные включения F-I-типа характеризуются неравномерным соотношением фаз и различным составом. Расположенные на границе кварца и флюорита ФВ содержат только газ и раствор  $\text{Ca}$ -хлоридного состава с концентрацией 8–10 мас. %. В газовой фазе присутствует углекислота различной плотности ( $T_{\text{пл}} = -60 \dots -56.9^\circ\text{C}$ ,  $T_{\text{том}}$  (в жидкую фазу) =  $-9.0 \dots +11.5^\circ\text{C}$ ). На границе кварца и ангидрита ФВ этого типа содержат твердую фазу, которая при нагревании,

не уменьшаясь в объеме, исчезает при температурах  $126 \dots 128^\circ\text{C}$ , характерных для разложения сульфата натрия (Карякин, Ангелов, 1955). По-видимому, эти растворы имеют хлоридно-сульфатный состав, поэтому их концентрация, рассчитанная по  $T_{\text{пл. льда}}$  в экв.- $\text{NaCl}$ , значительно отличается от истинной концентрации растворов. Определить  $T_{\text{том}}$  для ФВ F-I-типа, независимо от заполнения, оказалось невозможным. При нагревании до  $140 \dots 150^\circ\text{C}$  происходило вскрытие ФВ, очевидно, из-за различия температурных коэффициентов расширения минералов.

Для ФВ VLS<sub>1</sub>-типа общий интервал  $T_{\text{том}}$  составляет  $576 \dots 415^\circ\text{C}$ . Среди них выделено две группы ФВ, различающиеся составом заполняющих их флюидов. Для ФВ первой группы с  $T_{\text{том}} = 576 \dots 549$  и  $454 \dots 415^\circ\text{C}$  характерны  $T_{\text{лит}} = -56 \dots -36^\circ\text{C}$ , свидетельствующие о хлоридном составе растворов с преобладанием катионов  $\text{Mg}^{2+}$  или  $\text{Ca}^{2+}$ . В то же время присутствие кристаллов  $\text{NaCl}$  в вакуолях этих ФВ указывает на насыщенность растворов хлоридом  $\text{Na}$ . В хлоридном флюиде ФВ второй группы ( $T_{\text{том}} = 480 \dots 453^\circ\text{C}$ ) содержание, кроме  $\text{Na}^+$ , иных катионов незначительно ( $T_{\text{лит}} = -30 \dots -24^\circ\text{C}$ ). Флюиды всех ФВ этого типа характеризуются высокими концентрациями (70.5–49 мас. %-экв. $\text{NaCl}$ ) и плотностью (1.49–1.16 г/см<sup>3</sup>).

Относительно редкие ФВ VL-типа имеют  $T_{\text{том}} = 379 \dots 277^\circ\text{C}$  и  $T_{\text{лит}} = -27 \dots -24^\circ\text{C}$ . В некоторых из них наблюдалось плавление гидратов солей в интервале 9.6–8.7°C. Судя по этим значениям, ФВ законсервированы  $\text{Na}$ -хлоридные флюиды, содержа-



Фиг. 13. Типичные ФВ в кварце золото-полиметаллической стадии.

а — образец кварц-сульфидной жилы, кварц (Qtz); б—г — ФВ (VL), сингенетические сульфосоли; д — ФВ (VL), синтетические низкотемпературному золоту в кварце.

щие, возможно,  $\text{HCO}_3^-$ ,  $\text{CO}_3^{2-}$  или  $\text{SO}_4^{2-}$ , гидраты натровых солей которых, могут существовать до температуры +33°C (Борисенко, 1977). Концентрация растворов варьировала от 18.6 до 6.9 мас. %-экв.  $\text{NaCl}$ , плотность гомогенного флюида не превышала 0.9–0.8 г/см<sup>3</sup>.

В газовых, или существенно газовых, ФВ V-типа при микротермометрии фазовые изменения, как правило, не обнаруживались. В редких случаях в интервале температур –97...–115°C происходило замерзание  $\text{CO}_2$ , тогда как плавление и гомогенизация были не видны. ФВ этого типа заполнены мало-плотным флюидом.

*Кварц-молибденитовая стадия.* Изучены первичные ФВ в кварце из полосчатых жил, расположенные в основном вблизи сростков кристаллов молибденита.

Многофазные ФВ VLS<sub>1</sub>-типа имеют  $T_{\text{том}} = 549$ –404°C, несколько более низкие, чем в кварце дорудной стадии, но содержат близкие по составу растворы хлоридного состава с переменным соотношением  $\text{Mg}^{2+}$ ,  $\text{Na}^+$ , возможно,  $\text{Ca}^{2+}$ , насыщенные  $\text{NaCl}$ . Во многих ФВ в интервале  $T = 15$ –6°C наблюдалось плавление гидратов солей, что свидетельствует о более сложном составе анионов (Борисенко, 1977). Концентрация растворов для ФВ с высокими  $T_{\text{том}} = 549$ –510°C составляет 62–53.8 мас. %-экв.  $\text{NaCl}$ . Снижение  $T_{\text{том}}$  до 380°C сопровождается уменьшением концентрации раствора до 48.3–45.9 мас. %-экв.  $\text{NaCl}$ . Плотность гомогенных флюидов варьировала от 1.32 до 1.11 г/см<sup>3</sup>.

В многофазных ФВ VLS<sub>2</sub>-типа установлены более низкие  $T_{\text{том}} = 420$ –378°C. Эти ФВ содержат Na-хлоридные растворы с концентрацией 48.3–45.7 мас. %-экв.  $\text{NaCl}$  и плотностью 1.21–1.18 г/см<sup>3</sup>. Для ФВ VLS<sub>2a</sub>-типа характерны идентичные  $T_{\text{том}}$

(420–378°C) и растворы с аналогичным Na-хлоридным составом, но со значительно более низкой концентрацией (12.7–6.6 мас. %-экв. NaCl) и плотностью, не превышающей 0.66–0.64 г/см<sup>3</sup>. При замораживании ФВ изолированные включения рудного кристалла слегка меняли положение, что позволяло видеть их морфологию – шестигранные призмы, характерные для молибденита. При замораживании ФВ VLS<sub>26</sub>-типа фазовые изменения не происходили.

Среди ФВ VL-типа по соотношению фаз выделены две разновидности. Одна из них представлена ФВ с газовой фазой, занимающей более 50–70% объема. Они гомогенизировались в газ при  $T = -561\text{--}518^\circ\text{C}$ , содержат растворы Mg-Na-хлоридного состава ( $T_{\text{зкт}} = -44\text{--}-27^\circ\text{C}$ ) с концентрацией 17–16 мас. %-экв. NaCl и низкой (0.52–0.51 г/см<sup>3</sup>) плотностью захваченного флюида. Другая разновидность представлена ФВ с газовой фазой менее 35–40% объема. Они гомогенизировались в жидкость при значительно более низких  $T_{\text{зом}}$  (390–305°C) и заполнены хлоридными растворами с преобладанием Mg<sup>2+</sup> ( $T_{\text{зкт}} = -43\text{--}-34^\circ\text{C}$ ) или Ca<sup>2+</sup> ( $T_{\text{зкт}} = -62\text{--}-61^\circ\text{C}$ ). Для этих ФВ характерна концентрация от 23.3 до 13.2 мас. %-экв. NaCl и значительно более высокая (0.90–0.73 г/см<sup>3</sup>) плотность.

В газовых ФВ V-типа фазовые изменения при микротермометрических исследований не происходили.

**Золото-полиметаллическая стадия.** Все изученные в кварце, флюорите и kleofане ФВ представлены VL-типом.

Общий интервал  $T_{\text{зом}}$  в кварце составляет 374–190°C. Подавляющее большинство ФВ содержат растворы Na-хлоридного состава с концентрацией от 15.7 до 2.9 мас. %-экв. NaCl. В некоторых группах ФВ с  $T_{\text{зом}} = 300\text{--}340^\circ\text{C}$  последним плавился не лед, а кристаллы солей. Концентрация таких растворов находится в интервале между концентрацией насыщенного раствора и эвтектической и для Na-хлоридных растворов составляет 26 > ... > 23.2 мас. %-экв. NaCl, что соответствует рассолам. Для ФВ с температурами выше 300°C характерны как рассолы, так и слабосоленые растворы.

В некоторых группах ФВ установлены более высокие значения  $T_{\text{зкт}} = -16\text{--}-10^\circ\text{C}$ , которые однозначно не интерпретируются. При температурах от 0 до 15°C в них наблюдается плавление гидратов солей. Концентрация растворов в основном варьирует в интервале от 15.7 до 2.9 мас. %-экв. NaCl.

В флюорите у ФВ  $T_{\text{зом}}$  варьирует от 354 до 300°C. Они заполнены растворами Na-хлоридного состава с концентрацией от 17.2 до 4 мас. %-экв. NaCl. В то же время обнаружена группа ФВ с  $T_{\text{зом}} = 320\text{--}300^\circ\text{C}$ , для которой характерны Mg-хлоридные рассолы с концентрацией 18.0–13.6 мас. %-экв. NaCl. В kleofане присутствуют относительно низкотемпературные ФВ с  $T_{\text{зом}} = 297\text{--}141^\circ\text{C}$ , содержащие Na-хлоридные растворы. Их концентрация пони-

жается с падением температуры от 16.3–9.9 до 3.3–1.5 мас. %-экв. NaCl.

При исследованиях ФВ золото-полиметаллической стадии специальное внимание было уделено выявлению температурного режима и состава флюидов, отложивших минеральные ассоциации с самородным золотом. При оценке этих параметров использованы следующие образцы: 1) флюорит-халькопиритовый прожилок с высоким содержанием Au в халькопирите; 2) кварцевый прожилок, в котором присутствуют сульфиды с очень высоким содержанием золота и вкрапления самородного золота; 3) кварц, содержащий вкраплениями самородного золота; 4) обособление кварца в халькопирите обогащенным золотом. В образцах 1 и 3 халькопирит с золотом и вкрапленное золото кристаллизовались позднее минерала-хозяина (флюорита и кварца). В обоих случаях халькопирит и вкрапленное золото оперяются трещинками, содержащими псевдовторичные ФВ. По нашему представлению, именно эти ФВ характеризуют условия отложения золота.

Псевдовторичные ФВ во флюорите (образец 1) имеют  $T_{\text{зом}} = 330\text{--}320^\circ\text{C}$  и содержат Na-хлоридные растворы с концентрацией 6.7–4.0 мас. %-экв. NaCl. Более широкий интервал параметров получен при изучении ФВ в образце 2. Здесь общий интервал  $T_{\text{зом}} = 320\text{--}228^\circ\text{C}$ . Все растворы ФВ имеют Na-хлоридный состав, но при  $T > 300^\circ\text{C}$  одни группы ФВ содержат слабосоленые флюиды (0.7–1.7 мас. %-экв. NaCl), другие – рассолы с концентрацией 23–21 мас. %-экв. NaCl. В более низкотемпературных ФВ флюиды имели соленость с промежуточными значениями (11–12 мас. %-экв. NaCl). Псевдовторичные ФВ, расположенные вблизи выделений самородного золота в кварце (образец 3) гомогенизируются при относительно низких (225–205°C) температурах и содержат Na-хлоридные или более сложные по составу растворы, поскольку гидраты солей растворяются в интервале температуры 10.6–3.6°C. Их концентрация варьирует от 10 до 6.9 мас. %-экв. NaCl. Для ФВ в линзе кварца, локализованной в халькопирите (образец 4), характерны параметры, аналогичные параметрам ФВ из образца 3:  $T_{\text{зом}} = 226\text{--}213^\circ\text{C}$ , Na-хлоридный состав и концентрация 11.0–8.6 мас. %.

#### Результаты Рамановской спектроскопии

Были исследованы 19 ФВ в минералах дорудной, кварц-молибденитовой и золото-полиметаллической стадий. Результаты приведены в табл. 6.

**Дорудная стадия.** В кварце вкрапленников и фестончатых прожилков в риолит(гранит)-порфирах ФВ V- и VLS<sub>1</sub>-типов, а также ФВ F-1-типа на границе кварца и ангидрита в газовой фазе содержат только углекислоту (100 мол. %). Другие газы (H<sub>2</sub>, O<sub>2</sub>, N<sub>2</sub>, CH<sub>4</sub>, H<sub>2</sub>S) не обнаружены. В одном из ФВ V-типа в

**Таблица 6.** Результаты исследования флюидных включений в минералах различных стадий Бугданинского месторождения методом Рамановской спектроскопии

№ ФВ	Расположение ФВ в кварце	Тип ФВ	CO <sub>2</sub>				H <sub>2</sub>		O <sub>2</sub>		N <sub>2</sub>		CH <sub>4</sub>		H <sub>2</sub> S		Твердая фаза	
							мол. %											
<i>Дорудная стадия</i>																		
1	Кварцевый порфир	VLS <sub>1</sub>	100	Не обн.					Не обн.		Не обн.		Не обн.		Не обн.			
2	*	*	100	*	*	*	*	*	*	*	*	*	*	*	*	*	*	
3	*	V	100	*	*	*	*	*	*	*	*	*	*	*	*	*		
4	*	*	100	*	*	*	*	*	*	*	*	*	*	*	*	*		
5	Гранит Qtz-Anh	F	100	*	*	*	*	*	*	*	*	*	*	*	*	*		
<i>Кварц-молибденитовая стадия</i>																		
6	Периферия жилы	V	98.5	Не обн.			1.5	Не обн.			Не обн.		Не обн.		Не обн.			
7	*	*	100	*	*	*	*	*	*	*	*	*	*	*	*	*		
8	*	VLS <sub>2</sub>	100	*	*	*	*	*	*	*	*	*	*	*	*	*		
9	Около MoS <sub>2</sub>	V	99.0	*	*	*	*	*	Следы	*	*	*	1.0	*	*	*		
10	*	VLS <sub>2</sub>	98.3	*	*	*	*	*	>1	*	*	*	1.0	*	*			
11	*	*	98.0	*	*	*	*	*	>1	*	*	*	1.0	*	*			
12	*	*	100	*	*	*	*	*	>1	*	*	*	1.0	*	*			
<i>Золото-полиметаллическая стадия</i>																		
13	Вокруг халькогрита с Au	VL	99.5	0.5	Не обн.				Не обн.		Не обн.		Не обн.		Не обн.			
14	*	*	98.5	>0.5	*	*			>1	*	*	*	*	*	*	*		
15	*	*	98.5	0.5	*	*			>1	*	*	*	*	*	*			
16	*	VLS <sub>1</sub>	99.0	Не обн.	*	*			>1	*	*	*	*	*	*			
17	С сульфосолиями	VL	99.0	*	*	*			>1	*	*	*	*	*	*			
18	*	*	99.0	*	*	*			>1	*	*	*	*	*	*			
19	*	*	99.0	*	*	*			>1	*	*	*	*	*	*			

Примечание. Обн. — обнаружено присутствие компонента; оксид — рудная фаза в кристалле NaCl.

кварце кварц-магнетитовой ассоциации, кроме того, обнаружены  $\text{CO}_2$  (98.5 мол. %) и  $\text{O}_2$  (1.5 мол. %).

Состав газовой фазы ФВ в различных участках полосчатых жил *кварц-молибденитовой стадии* неодинаков. На периферии жил для ФВ V- и VLS<sub>2</sub>-типов характерна только  $\text{CO}_2$  (100 мол. %). В одном из ФВ обнаружен ион  $\text{HCO}_3^-$  в растворе. В непосредственной близости от молибдениита ФВ V-типа (с тонкой пленкой раствора) содержат  $\text{CO}_2$  (99 мол. %),  $\text{H}_2\text{S}$  (1 мол. %) и следы азота. Газовая фаза сингенетических ФВ VLS<sub>2</sub>-типа также состоит преимущественно из углекислоты (99–98 мол. %), но с примесью  $\text{N}_2$  (>1 мол. %). Рудная фаза в ФВ VLS<sub>2</sub>-типа – оксид железа.

Для определения газовой составляющей флюидов, формировавших минерализацию *золото-полиметаллической стадии*, изучены ФВ: 1) в кварце, образующем ассоциацию с сульфосолями; 2) в кварце, вмещающем халькопирит и золото; 3) в линзе кварца, локализованной в халькопирите с золотом. В газовой фазе ФВ, характеризующих отложение сульфосолей, преобладает  $\text{CO}_2$  (99 мол. %) и присутствует  $\text{N}_2$  (>1 мол. %), тогда как в газовой фазе ФВ, характеризующих отложение золота, кроме  $\text{CO}_2$  (98.5 мол. %) и  $\text{N}_2$  (>1 мол. %) обнаружен  $\text{H}_2$  (>0.5 мол. %). В растворе ФВ с  $T_{\text{том}} = 212^\circ\text{C}$  и  $T_{\text{жпт}} = -16^\circ\text{C}$  установлен бикарбонат-ион.

## ЭВОЛЮЦИЯ ФЛЮИДНОГО РЕЖИМА ФОРМИРОВАНИЯ ГИДРОТЕРМАЛЬНОЙ МИНЕРАЛИЗАЦИИ

Определение давления является одной из самых трудных задач при исследовании флюидных включений. Давление – наиболее изменчивый параметр и зависит от многих причин, существовавших в момент кристаллизации минерала. В имеющихся в нашем распоряжении образцах Бугданского месторождения отсутствовали ФВ, пригодные для корректных расчетов давления. Поэтому мы вынуждены ограничиться качественной оценкой. Рассмотренные выше данные исследования ФВ методом микротермометрии показали, что в газовых ФВ в процессе анализа фазовые изменения не происходили. Состав газовой составляющей флюидов, в том числе и  $\text{CO}_2$ , был определен Рамановской спектроскопией (табл. 6). На основании этих данных можно полагать, что плотность водно-углекислотного газового флюида, игравшего значительную роль, особенно в период формирования минерализации дорудной и кварц-молибденитовой стадий, была невелика, а следовательно давление не достигало значительных величин. В этих условиях  $T_{\text{том}}$  отличаются от истинных температур минералообразования не более чем на 10–20°C (Potter, Cline, 1978), поэтому приведенные в табл. 5 значения  $T_{\text{том}}$  практически соответствуют температурам минералообразования.

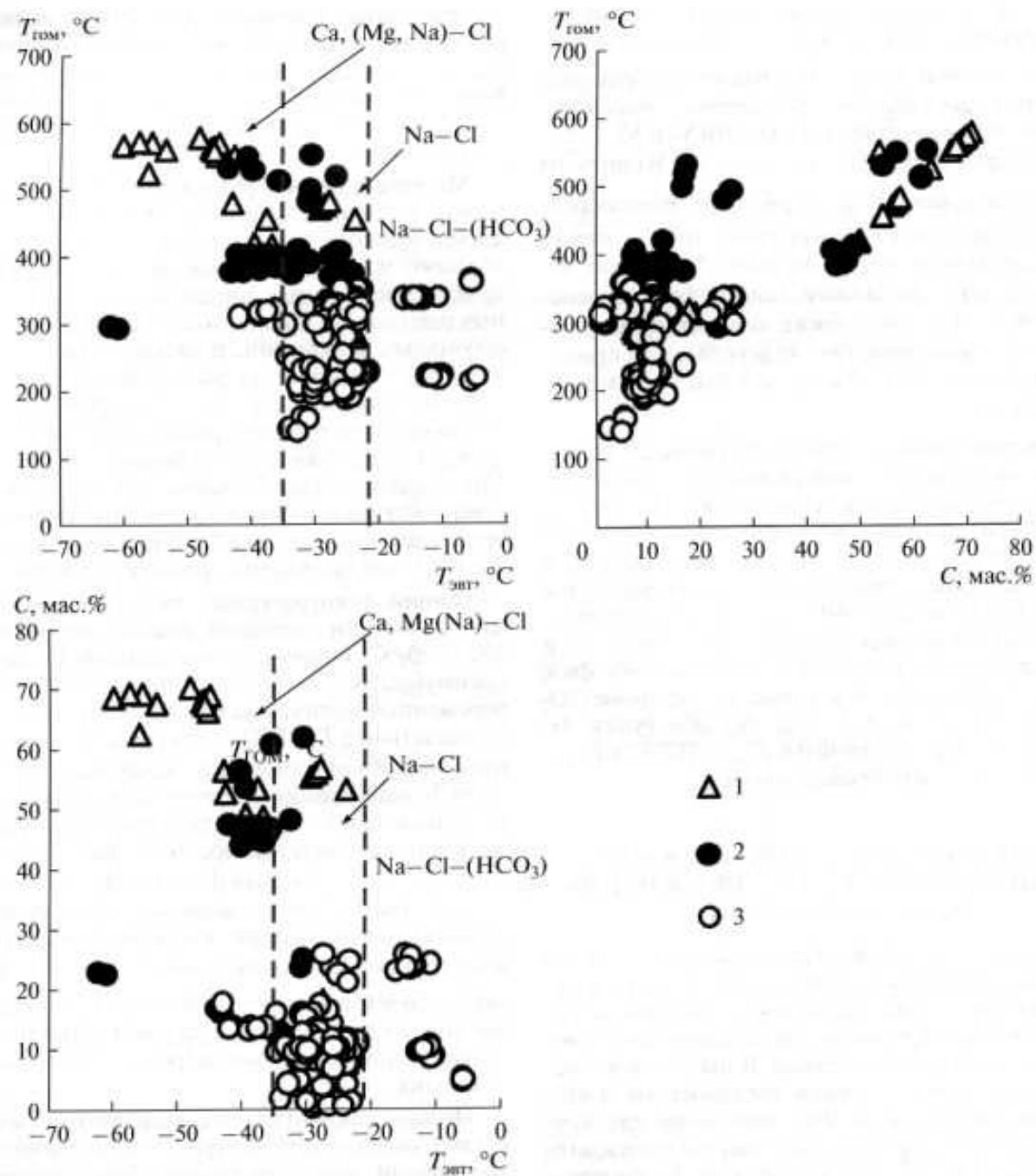
Результаты изучения флюидных включений позволяют проследить эволюцию флюидного режима в процессе формирования минерализации дорудной, кварц-молибденитовой и золото-полиметаллической стадий Бугданского месторождения (фиг. 14).

Минерализация дорудной стадии была сформирована в заключительный период кристаллизации магматического очага, в период отделения от него солевого и газового флюидов. На это указывает присутствие в кварце дорудной стадии сингенетических расплавных (силикатных и солевых) и газовых флюидных включений. В дальнейшем, как свидетельствуют сингенетичные водно-солевые и газовые ФВ, солевой расплав трансформировался в водно-солевой расплав – рассол, но минералообразующая среда все еще оставалась гетерогенной. Многократное преобладание газовых или существенно газовых ФВ над другими их типами свидетельствует о значительной роли летучих компонентов в ранний период минералообразования.

Общий температурный интервал образования минерализации дорудной стадии составлял 570–280 ( $\pm 20$ )°C. Водно-солевой расплав – рассол имел преимущественно хлоридный состав и содержал переменные количества Ca, Na и Mg. При этом, в соответствии с  $T_{\text{жпт}}$  ФВ F-типа (табл. 5), в его составе присутствовали заметные количества сульфатиона. Концентрация и плотность этого флюида достигали высоких для гидротермального раствора значений (соответственно, 70–50 мас. %-экв. NaCl и 1.5–1.2 г/см<sup>3</sup>). Газовая фаза водно-солевых ФВ и малоплотного газового флюида, по данным Рамановской спектроскопии, имела водно-углекислотный состав. Однако значения  $T_{\text{жпт CO}_2}$  в интервале –60...–56.9°C в некоторых ФВ типа F-1 предполагают присутствие в составе газовой фазы примесей других газов, по крайней мере, периодическое или локальное.

Поздние порции гидротермального раствора этой стадии, отложившие минералы кварц-магнетитовой ассоциации, характеризовались Na-хлоридным составом с концентрацией от 19 до 8 мас. %-экв. NaCl и присутствием в составе флюидов помимо  $\text{CO}_2$  небольшого количества  $\text{O}_2$  (1.5 мол. %).

Минерализация кварц-молибденитовой стадии формировалась при температурах 560–300 ( $\pm 20$ )°C, близких таковым в дорудную стадию. Ранний период формирования кварца из призальбандовых частей кварц-молибденитовых полосчатых жил характеризуют немногочисленные двухфазные ФВ с  $T_{\text{том}} = 561–518^\circ\text{C}$ , концентрацией 17–16 мас. %-экв. NaCl и низкой плотностью (~0.5 г/см<sup>3</sup>). Эти данные могут указывать на поступление в этот период в гидротермальную систему гомогенных малоплотных флюидов. Однако основная минерализация кварц-молибденитовой стадии, судя по количественному соотношению ФВ различных типов, была сформи-



**Фиг. 14.** Температуры гомогенизации, температуры эвтектики и концентрации растворов флюидных включений в минералах различных стадий Бугдайского месторождения (по данным микротермометрии).  
1 — дорудная стадия; 2 — кварц-молибденовая стадия; 3 — золото-полиметаллическая стадия.

рована при участии гетерогенных флюидов (фиг. 14). Концентрация и плотность водно-солевого раствора были несколько ниже, чем во флюидах дорудной стадии, и составляли соответственно 62.0–45.7 мас.-% экв. NaCl, и 1.3–1.1 г/см<sup>3</sup>. Низкоплотный газовый флюид имел водно-углекислотный состав. Примесь N<sub>2</sub> и H<sub>2</sub>S (не более 2 мол. %) зафиксирована в составе ФВ в участках жил, где отлагался молибденит.

Прожилковидные скопления молибденита в центральных частях кварц-молибденитовых жил отлагались при температурах от 550 до 390°C из гетерогенного флюида. В этих же участках жил довольно часто наблюдаются газовые ФВ, в которых присутствуют включения рудного минерала в виде шестигранниковых пластинок, вероятно, MoS<sub>2</sub>. С учетом данных о преимущественном фракционировании Mo при кристаллизациимагм в паровую фазу (Tingle, Fenn, 1984; Candela, Holland, 1981; Bernhard,

1990), нельзя исключить, что кристаллизация некоторой части молибденита происходила из мало-плотного газового флюида. Кристаллы  $\text{MoS}_2$  встречаются и в более низкотемпературных двухфазных ФВ. Это, очевидно, указывает на то, что отложение молибденита не было одноактным и совершилось в широком температурном диапазоне.

Отложение минерализации золото-полиметаллической стадии происходило в интервале температур 360–200 ( $\pm 20$ )°С. Минералообразующая среда представляла собой гомогенные гидротермальные флюиды Na-хлоридного (или бикарбонатно-хлоридного) состава. Концентрация флюидов варьировалась от 26 до 3 мас. %-экв.  $\text{NaCl}$ , с максимальными значениями при температурах 330–240°С (фиг. 14). Плотность флюидов постепенно повышалась к концу процесса, составляя 0.64 г/см<sup>3</sup> при температурах около 360°С и 0.94–0.91 г/см<sup>3</sup> при температурах 225–205°С. Газовая фаза флюидов состояла из углекислоты (99.5–99.0 мол. %) с небольшой примесью  $\text{H}_2$  и  $\text{N}_2$  (менее 1 мол. %).

Самородное золото I отлагалось Na-хлоридными флюидами с концентрацией 23–21 мас. %-экв.  $\text{NaCl}$  в температурном интервале 330–260°С. Позднее, из относительно низкотемпературных (240–190°С) флюидов Na-хлоридного (или Na-бикарбонатно-хлоридного) состава с концентрацией 16–7 мас. %-экв.  $\text{NaCl}$  происходило образование минеральных ассоциаций с более распространенным на месторождении электрумом (самородное золото II) (фиг. 14).

Газовые ФВ и газовая фаза многофазных ФВ, характеризующих флюиды дорудной стадии, из которых кристаллизовался ранний кварц-кварц-молибденитовой стадии, содержали в основном  $\text{CO}_2$  и даже  $\text{O}_2$ . Формирование молибденита и рудной минерализации золото-полиметаллической стадии также происходило из флюидов, основным газовым компонентом которых являлась углекислота, но с небольшой (в сумме не более 2 мол. %) примесью газов-восстановителей  $\text{N}_2$ ,  $\text{H}_2\text{S}$  и  $\text{H}_2$ .

Известно, что  $\text{O}_2$  и  $\text{H}_2$  являются обычными компонентами газовой фазы ФВ в минералах урановых месторождений, где они образовались вследствие радиолиза воды под действием радиоактивного излучения (Dubessy *et al.*, 1988). Также  $\text{H}_2$  встречается в составе газов ФВ на месторождениях, локализованных в осадочных толщах, содержащих органику (Бортников и др., 2005). Сведения о присутствии  $\text{O}_2$  на месторождениях, не содержащих урановой минерализации, в известной нам литературе отсутствуют, и в нашей практике  $\text{O}_2$  в составе ФВ обнаружен впервые. Существенно углекислотный состав газовой фазы ФВ, присутствие сульфат-иона в растворе и  $\text{O}_2$  указывают, по нашему мнению, на высокую степень окисленности флюидов, сформировавших кварц дорудной стадии.

$\text{N}_2$  мог образоваться при разрушении силикатов, содержащих аммоний, в которых азот в форме иона

$\text{NH}_4^+$  изоморфно замещает калий (Duit *et al.*, 1986; Botrell *et al.*, 1988; Botrell, Miller, 1990). Сера  $\text{H}_2\text{S}_{aq}$ , скорее всего, судя по данным изотопных исследований, имела магматическое происхождение.  $\text{H}_2$ , как упоминалось выше, по-видимому, мог появиться вследствие взаимодействия магматогенных флюидов с вмещающими породами.

Появление газов-восстановителей указывает на весьма значительное изменение Eh-потенциала минералообразующих флюидов. Очевидно, что это происходило достаточно резко, может быть скачкообразно. Этот вывод следует из того, что одни и те же ФВ VLS<sub>1</sub>-типа содержат не только оксид железа в виде включений в кристаллах галита (фиг. 12в), но и изолированные кристаллы молибденита (фиг. 12г, 12д), и небольшое количество  $\text{N}_2$  в газовой фазе. По нашему мнению, изменение окислительно-восстановительного состояния флюидов, вызванное появлением восстановителей в период формирования рудной минерализации могло явиться одним из основных факторов, вызвавших рудоотложение.

## ЗАКЛЮЧЕНИЕ

1. Бугдаинское золотоносное Mo(W)-месторождение (Восточное Забайкалье, Россия) приурочено к штоку риолит(гранит)-порфиров в центральной части вулкано-купольной структуры, расположенной в пределах крупного Ундинского plutона варисских гранитоидов. По своим характеристикам оно соответствует месторождениям типа Клаймакс или риолитовому субклассу Мо-порфировых месторождений, но отличается от них наличием промышленных запасов золота. Золотоносность месторождения связана с распространенным в его юго-восточной части жильным и жильно-прожилковым Au-Pb-Zn оруденением.

2. На месторождении широко проявлены концентрически-зональные, развитые вокруг штока риолит(гранит)-порфиров метасоматические изменения пород, выходящие за пределы рудных тел. От центра к периферии зона калиевого метасоматоза (калишпатовые и флогопит-калишпатовые метасоматиты) в эндо- и экзоконтактах штока с наложенным на нее окварцеванием сменяется зоной K-Mg-метасоматоза (флогопитовые метасоматиты), далее – пропилитами хлорит-актинолит-эпидотового состава и затем серицитовыми метасоматитами. Подобного рода метасоматическая зональность характерна практически для всех Мо-порфировых месторождений типа Клаймакс.

3. Наиболее распространенные на Бугдаинском месторождении, контрастно различающиеся по минерало-геохимическим и морфологическим особенностям, штокверковый и жильно-штокверковый W-Mo и жильный и жильно-прожилковый Au-Pb-Zn-типы оруденения, пространственно разобщены. Первый из них образует в центральной части место-

рождения вокруг штока риолит(гранит)-порфиров разреженный штокверк минерализованных трещин и жил, которые контролируются меридиональной, северо-восточной и колыцевой системами нарушений. Основная часть второго в виде кварц-сульфидных жил и прожилков с золото-полиметаллической минерализацией локализована в юго-восточной части месторождения и приурочена, главным образом, к северо-западным, реже — меридиональным разрывным структурам.

4. Руды Бугдаинского месторождения характеризуются наиболее разнообразным минеральным составом среди Mo-порфировых месторождений риолитового субтипа. В настоящее время здесь благодаря использованию современных методов исследования установлено более 70 слагающих руды минералов, среди которых наиболее распространены: пирит, галенит, сфалерит, молибденит, халькопирит, шеелит. Реже встречаются арсенопирит, блеклые руды с широкими вариациями As и Sb, вольфрамит. Постоянно, но в малых количествах, особенно в обогащенных золотом рудах, отмечаются самородные золото и серебро, электрум, кюстеллит, разнообразные сульфосоли, включая минералы айкинитовой серии, матильцит-галенитового ряда, системы Cu—Ag—Pb—Bi—S, полибазит, Te-полибазит, стибиопирсент, буронит, буланжерит, тетрадимит, сервеллеит, Ag—Cd—Hg-содержащие блеклые руды, а также амальгамы серебра, джалиндит, гринокит, молибденсодержащий штолыцит.

5. Гидротермальная минерализация Бугдаинского месторождения образована в результате многоактного процесса, в течение четырех основных стадий. На заключительном этапе кристаллизации субвуликанического штока риолит(гранит)-порфиров происходили высокотемпературные преобразования вмещающих пород в виде последовательного образования калишпатовых метасоматитов, кварцевых и кварц-магнетитовых прожилков дорудной стадии. Вслед за ними сформировалась штокверковая и жильно-прожилковая W-Mo-минерализация кварц-молибденитовой стадии. Серicitизация, пиритизация и последующее образование кварц-сульфидных жил и прожилков с самородным золотом, с сульфидами полиметаллов и разнообразными Ag-Cu-Pb-Bi-Sb-сульфосолями и теллуридами золото-полиметаллической стадии происходили после изменения регионального плана тектонических деформаций. Завершился гидротермальный процесс отложением аргиллизитовой (кварц-каолинит-сметитовой) ассоциации послерудной стадии.

6. Минерализация зоны окварцевания дорудной стадии формировалась в заключительный период становления магматического очага при температурах 550–300 ( $\pm 20$ )°С в условиях несмесимых водно-солевого Na-Ca-Mg-хлоридно-(сульфатного) флюида, концентрация и плотность которого достигала уникально высоких значений (70.5 мас. %-экв. NaCl и

1.5 г/см<sup>3</sup>), и низкоплотного водно-углекислотного газового флюида. Кварц-магнетитовая минеральная ассоциация, завершившая образование дорудной минерализации, отлагалась из гомогенного водно-углекислотного Na-хлоридного флюида, содержащего O<sub>2</sub>. Минералообразование происходило в условиях высокой степени окисленности флюидов.

Формирование штокверкового и жильно-прожилкового шеелит-молибденитового оруденения кварц-молибденитовой стадии происходило при температурах 550–300 ( $\pm 20$ )°С из флюидов магматического происхождения. Основная масса молибденита отлагалась из рассолов в условиях несмесимых высокосоленого Mg-Na-Ca-хлоридного и низкоплотного водно-углекислотного флюида. Некоторая часть молибденита кристаллизовалась из газового флюида, а также из гомогенного гидротермально-го Na-Ca-Mg-хлоридно-бикарбонатного флюида. В газовой составляющей флюидов, помимо углекислоты, присутствовала примесь N<sub>2</sub> и H<sub>2</sub>S, что, наряду с наличием в одних и тех же вакуолях оксида железа и молибденита, свидетельствует о резкой смене окислительно-восстановительного состояния флюидов.

Отложение кварц-сульфидной минерализации с самородным золотом золото-полиметаллической стадии совершилось при более низких температурах (360–200  $\pm 20$ )°С из гомогенных Na-K-Cl(HCO<sub>3</sub>, SO<sub>4</sub>) гидротермальных растворов с заметной долей коровой составляющей, соленость которых варьировала от умеренной до низкой. Газовая фаза флюидов имела углекислотный состав и содержала около 2 мол.% примесей H<sub>2</sub> и N<sub>2</sub>.

Предполагается, что отложение рудной минерализации обусловлено вариациями Eh-состояния флюида.

7. Своеобразие Бугдаинской рудообразующей системы и ее золотоносность определяются: 1) расположением в узле пересечения Кличкинско-Дарасунской (Au-Pb-Zn) и Шахтаминской (Mo-W-Sn) рудоконцентрирующих структур; 2) сочетанием штокверковой W-Mo-минерализации порфирового типа с Au-Pb-Zn-жильно-прожилковым оруднением; 3) спецификой флюидного режима, которая была обусловлена высокой насыщенностью магматическими летучими компонентами отделившимися от материнского интрузива флюидной фазы, ее последующей эволюцией при подъеме к поверхности в результате как расслоения на низкоплотный пар и гиперсоленую жидкость, так и взаимодействия с боковыми породами и смешения с окисленными приповерхностными водами сульфатно-гидрокарбонатного состава.

## БЛАГОДАРНОСТИ

Авторы искренне признательны Т. Ломм (Университет Пуанкаре, Франция), которая провела

изучение ФВ методом Рамановской спектроскопии, и благодаря С.Е. Борисовскому, Т.И. Головину, С.И. Гаврилову, А.Л. Керзина, Л.А. Левицкую, А.В. Мохова, Л.П. Носика, Н.В. Трубкина, А.И. Цеппина и А.И. Якушева за выполнение аналитических исследований.

Работа выполнена в рамках Программ ОНЗ-2 и ОНЗ-5 РАН (проекты "Флюидно-магматические рудообразующие системы, ассоциированные с кислым магматизмом: геологическое строение, длительность формирования, источники металлов и флюида и их геолого-генетические модели" и "Условия нахождения и образования наноразмерных частиц минералов в горных породах и рудах, их структура и физические свойства"), а также Российской фонда фундаментальных исследований (проект 10-05-00354).

## СПИСОК ЛИТЕРАТУРЫ

- Абрамов С.С., Рассказов А.В.* Механизм формирования рудоносных высокофтористых магм и колебательная кристаллизация кварца // Геология руд. месторождений. 1997. Т. 39. № 3. С. 279–289.
- Андреева О.В., Головин В.А.* Метасоматические процессы на месторождениях мезозойских областей внутримагматической активизации (Восточная Монголия, Забайкалье) // Геология руд. месторождений. 2001. Т. 43. № 3. С. 227–242.
- Андреева О.В., Головин В.А., Козлова П.С. и др.* Эволюция мезозойского магматизма и рудно-метасоматических процессов в Юго-Восточном Забайкалье (Россия) // Геология руд. месторождений. 1996. Т. 38. № 2. С. 115–130.
- Борисенко А.С.* Изучение солевого состава газово-жидких включений в минералах методом криометрии // Геология и геофизика. 1977. № 8. С. 16–27.
- Бортников Н.С., Ханчук А.И., Крылова Т.Л. и др.* Геохимия минералообразующих флюидов некоторых оловорудных гидротермальных систем Сихоте-Алиня (Дальний Восток, Россия). // Геология руд. месторождений. 2005. Т. 47. № 6. С. 537–570.
- Генкин А.Д., Муравьева И.В.* Индит и джалиндит – новые минералы индии // Зап. ВМО. 1963. Сер. 2. Ч. 92. Вып. 4. С. 445–458.
- Гордеев В.И., Красников В.И.* Бугданское золото-молибденовое месторождение // Вещественный состав и обогащение руд и россыпей Восточного Забайкалья. Чита: Поиск, 2001. С. 207–222.
- Добровольская М.Г., Шадун Т.Н.* Минеральные ассоциации и условия формирования свинцово-цинковых руд. М.: Наука, 1974.
- Зоненшайн Л.П., Кузьмин М.И., Натапов Л.М.* Тектоника литосферных плит территории СССР. М.: Недра, 1990. Кн. 1.
- Елец С., Коваленкер В.А., Габер М.* Парагенетические ассоциации минералов золота и серебра в рудах месторождения Банска Штьявница и Годруша (Западные Карпаты, Словакия): минералогия, вариации химического состава и условия образования // Роль минералогии в познании процессов рудообразования. М.: ИГЕМ РАН, 2007. С. 178–183.
- Карякин Ю.В., Ангелов И.И.* Чистые химические реактивы. М.: ГХИ, 1955.
- Киселева Г.Д., Коваленкер В.А., Трубкин Н.В. и др.* О находке редких минералов In, Cd, Mo и W в золото-полиметаллических жильных рудах Au-Mo(W)-порфирого Бугданского месторождения (Восточное Забайкалье, Россия) // Новые данные о минералах. 2008. Вып. 43. С. 13–22.
- Коваленкер В.А., Крылова Т.Л., Киселева Г.Д., Кигай И.Н.* Условия формирования Au-Mo(W)-Pb-Zn руд Бугданского месторождения (Восточное Забайкалье, Россия) // Докл. РАН. 2007. Т. 416. № 1. С. 96–99.
- Колтун Л.И., Пизнюк А.В.* Результаты исследований включений в минеральных ассоциациях Бугданского молибденово-полиметаллического месторождения // Минерал. сборник. 1970. Вып. 3. № 24. С. 274–285.
- Кривцов А.И., Мигачев И.Ф., Попов В.С.* Медно-порфировые месторождения мира. М.: Недра, 1987.
- Кормилицин В.С.* Основные черты мезозойской металлогении Восточного Забайкалья // Сов. геология. 1959. № 11. С. 96–109.
- Круглова В.Г., Чернов Б.С., Евдохин А.Г., Пастухова Е.С.* Особенности молибденового штокверкового месторождения Восточного Забайкалья // Сов. геология. 1965. № 3. С. 118–124.
- Носик Л.П.* Изотопные методы при изучении минералообразования. М.: Наука, 1986.
- Пизнюк А.В.* К вопросу о температурах и давлении при формировании минеральных ассоциаций молибденовых и молибденово-полиметаллических месторождений // Минерал. сборник. 1970. Вып. 4. № 24. С. 437–441.
- Повилайтис М.М.* Вопросы генезиса и поисковое значение ритмично-зональных гранитных тел // Петролого-минералогические особенности пород и технических камней. М.: Наука, 1979. С. 205–209.
- Реддер Э.* Флюидные включения в минералах. М.: Мир, 1987. Т. 1.2.
- Соловьев Е.Г., Стрельцов В.А., Чухрова О.Ф.* О составе выделений самородного золота и их распределение по минералам матрицам в полиметаллических жилах молибденового месторождения Бугда (Восточное Забайкалье) // Локальные методы исследования вещества. Сузdal, 1993. С. 99–102.
- Тихонов Н.Д.* Об условиях формирования штокверкового месторождения, связанного с субвуликаническими жерлами (Забайкалье) // Изв. ВУЗов. Геология и разведка. 1962. № 7. С. 76–86.
- Томсон И.Н.* Глубинные разломы, их рудоконтролирующее значение и методы изучения // Литологические и структурные факторы размещения оруденения в рудных районах. М.: Недра, 1964. С. 76–155.
- Томсон И.Н.* О рудоконцентрирующих структурах Восточного Забайкалья // Новые данные по магматизму и минерализации в рудных районах Востока СССР. М.: Наука, 1971. С. 6–13.
- Уайт У., Букстстром А.А., Камилли З.Дж. и др.* Основные черты происхождения молибденовых месторождений типа Клеймакс // Генезис рудных месторождений. М.: Мир, 1984. Т. 1. С. 334–400.

- Харитонов Ю.Ф., Чечеткин В.Е., Шевчук Г.А. и др. Минерально-сыревые ресурсы Читинской области. Чита, 2003. С. 94–99.*
- Щеглов А.Д. Основные проблемы современной металлогении. Л.: Недра, 1987.*
- Becker S.P., Fall A., Bodnar R.J. Synthetic fluid inclusions. XVII. PVTX properties of high salinity H<sub>2</sub>O-NaCl solutions (>30 wt. % NaCl): application to fluid inclusions that homogenize by halite disappearance from porphyry copper and other ore deposits // Econ. Geol. 2008. V. 103. P. 539–554.*
- Bernard A. Volatile transport and deposition of Mo, W and Re in high magmatic fluids. // Applied Geochemistry. 1990. V. 5. P. 317–326.*
- Bindi L., Evain M., Spry P.G., Menchetti S. The pearceite-polibasite group of minerals: crystal chemistry and new nomenclature rule // Amer. Mineralogist. 2007. V. 92. P. 918–925.*
- Bodnar R.J., Vityk M.O. Interpretation of microthermometric data for H<sub>2</sub>O-NaCl fluid inclusions // Fluid inclusions in minerals: methods and applications. Pontignano-Siena, 1994. P. 117–130.*
- Botrell S.N., Miller M.F. The geochemical behavior of nitrogen compounds during the formation of black shale hosted quartz-vein gold deposits, North Wales // Applied Geochemistry. 1990. V. 5. № 3. P. 289–296.*
- Botrell S.N., Carr L.P., Dubessy J. A nitrogen-rich metamorphic fluid and coexisting minerals in slates from North Wales // Mineral Magazine. 1988. V. 52. Pt. 4. P. 451–457.*
- Brown P.E. FLINCOR: a microcomputer program for the reduction and investigation of fluid inclusions data // Amer. Mineralogist. 1989. V. 74. P. 1390–1399.*
- Candela P.A., Holland D. The effect of fluorine on the partitioning of molybdenum between a magma and a hydrothermal // Geological Society of America Abstracts with Programs. 1981. V. 13. P. 422.*
- Crawford M.L. Fluid inclusions: applications to petrology // Mineral Association of Canada. Short Course. Handbook 6. 1981. P. 75–100.*
- Davis D.W., Lowenstein T.K., Spenser R.J. Melting behavior of fluid inclusions in laboratory-grown halite crystals in the systems NaCl–H<sub>2</sub>O, NaCl–KCl–H<sub>2</sub>O, NaCl–MgCl<sub>2</sub>–H<sub>2</sub>O and CaCl<sub>2</sub>–NaCl–H<sub>2</sub>O // Geochim. et Cosmochim. Acta. 1990. V. 54. P. 591–601.*
- Dubessy J., Pagel M., Beny J.M., et al. Radiolysis evidenced by H<sub>2</sub>–O<sub>2</sub> and H<sub>2</sub>–bearing fluid inclusions in three uranium deposits // Geochim. et Cosmochim. Acta. 1988. V. 52. № 5. P. 1155–1168.*
- Duit W., Jansen J. H., Breemen A., Bos A. Ammonium micas in metamorphic rocks as exemplified by Dome de L'Agourt (France) // Amer. J. Science. 1986. V. 286. № 9. P. 702–732.*
- Field C.W., Fifarek R.H. Light stable-isotope systematic in the epithermal environments // Rev. in Econ. Geol. 1985. V. 2. P. 99–128.*
- Fricke R., Seits A. Kristalline hydroxide des indiums und scandiums // Zeitschr. Anorg. Chem. 1947. Bd. 255. H. 1–3. P. 13–15.*
- Ishihara S. The magnetite-series and ilmenite-series granitic rocks // Mining Geology. 1977. V. 27. P. 293–305.*
- Ohmoto H., Goldhaber M.B. Sulphur and carbon isotopes // Geochemistry of hydrothermal ore deposits. N.Y.: Wiley and Sons, 1997. P. 517–612.*
- Potter R.W., Cline M.A. Pressure correction for fluid inclusion homogenization temperatures (abstr.) // 5<sup>th</sup> Symp. IA-GOD, Snowbird, Alta, Utan, 1978. P. 146.*
- Seedorf E., Dilles J.H., Proffett J.N., et al. Porphyry deposits: Characteristics and origin of hypogen features // Econ. Geol. 2005. 100<sup>th</sup> Anniversary V. P. 251–298.*
- Spenser R.J., Moller N., Weare J.H. The prediction of mineral solubilities in mineral waters: a chemical equilibrium model for the Na-K-Ca-Mg-Cl-SO<sub>4</sub> system at temperatures below 25°C // Geochim. et Cosmochim. Acta. 1990. V. 54. P. 575–602.*
- Tingle T.N., Fenn P.M. Transport and concentration of molybdenum in granite-molybdenite systems: effects of fluorine and sulfur // Geology. 1984. № 12. P. 156–158.*
- Voudouris P., Spry P. A new occurrence of cervelleite-like phases and Te-polibasite from gold-bearing veins in metamorphic rocks of the cycladic blueschist unit, Greece // Int. Geol. Congress, 2008. <http://www.33igc.org/1350917.html>.*
- Warmada I.W., Lehmann B. Polimetallic sulfides and sulfosalts of the Pongkor epithermal gold-silver deposit, West Java, Indonesia // The Canad. Mineralogist. 2003. V. 41. P. 185–200.*